

Aproksymacja średniokwadratowa wielomianami algebraicznymi

Krystian Madej, 09.04.2024

1. Treść zadania

Dla funkcji $e^{-k \cdot \sin(mx)}$, $k = m = 3$, na przedziale $[a = -2\pi; b = \pi]$ wyznaczyć jej wartości w n dyskretnych punktach. Następnie w oparciu o te punkty wyznaczyć przybliżenie funkcji wykorzystując aproksymację średniokwadratową wielomianami algebraicznymi

Wykonać eksperymenty numeryczne dla różnej liczby punktów dyskretyzacji oraz układów funkcji bazowych zawierających różną liczbę funkcji. Oszacować błędy przybliżenia. Graficznie zilustrować interesujące przypadki.

2. Środowisko obliczeń

Obliczenia zostały wykonane przy pomocy języka **C++20** na systemie **Windows 11**, kompilacja 22631.3447, procesorze **64-bitowym** Intel Core i5-11400H 2.70GHz, kod kompilowany kompilatorem **MSVC** (wersja 19.39).

3. Użyte biblioteki i programy pomocnicze

Do utworzenia map cieplnych wykorzystano program **GnuPlot**.

Do instalacji bibliotek **C++** użyto programu **conan**, wersja 2.1.

Najważniejsze użyte biblioteki:

- `<format>` - łatwe formatowanie
- `<numbers>` - stałe matematyczne
- `CvPlot` - tworzenie wykresów
- `<future>` - obiekty `std::future` oraz `std::async`
- `<ranges>` - operacje na obiektach iterowalnych

4. Sposób obliczeń

4.1.1 Wielomian uogólniony

Mając dane:

- $n + 1$ węzłów: $(x_i, y_i = F(x_i)), \quad i = 0, 1, \dots, n$
- układ $m + 1$ funkcji bazowych: $\phi_j(x), \quad j = 0, 1, \dots, m$

Szukamy wielomianu uogólnionego:

$$f(x) = \sum_{j=0}^m a_j \phi_j(x)$$

czyli szukamy $\{a_j\}_{j=0}^m$, dla których:

$$\min ||F(x) - f(x)|| = \min \sum_{i=0}^n w(x_i) \left[F(x_i) - \sum_{j=0}^m a_j \phi_j(x_i) \right]^2$$

gdzie:

$[F(x_i) - \sum_{j=0}^m a_j \phi_j(x_i)]^2$ - odchylenie

$w(x_i)$ - waga danego węzła, $w(x) \geq 0$

zwykle $w(x_i) \approx \frac{1}{[\text{błąd } F(x_i)]^2}$ lub $w(x) = 1$

$$\sum_{i=0}^n w(x_i) \left[F(x_i) - \sum_{j=0}^m a_j \phi_j(x_i) \right]^2 = H(a_0, a_1, \dots, a_m)$$

4.1.2 Współczynniki $\{a_j\}$

Współczynniki $\{a_j\}$ znajdujemy z warunku:

$$\frac{\partial H}{\partial a_k} = 0, \quad k = 0, 1, \dots, m$$

$$\frac{\partial H}{\partial a_k} = -2 \sum_{i=0}^n w(x_i) \left[F(x_i) - \sum_{j=0}^m a_j \phi_j(x_i) \right] \phi_k(x_i) = 0; \quad k = 0, 1, \dots, m$$

co daje układ $m + 1$ równań liniowych z $m + 1$ niewiadomymi, układ ten jest zwany układem normalnym.

4.1.3 Aproksymacja wielomianowa

Dane:

funkcje bazowe \rightarrow ciąg jednomianów $\phi_j(x) = x^j, \quad j = 0, 1, \dots, m$

funkcja aproksymująca: $f(x) = \sum_{j=0}^m a_j \phi_j(x) = \sum_{j=0}^m a_j x^j$

$F(x)$ – zadana na zbiorze dyskretnym $\{x_i\}, \quad i = 0, 1, \dots, n$

Wtedy otrzymujemy:

$$\frac{\partial H}{\partial a_k} = \sum_{i=0}^n w(x_i) \left[F(x_i) - \sum_{j=0}^m a_j \phi_j(x_i) \right] x_i^k = 0; \quad k = 0, 1, \dots, m$$

$$\sum_{i=0}^n \left(w(x_i) x_i^k \sum_{j=0}^m a_j x_i^j \right) = \sum_{i=0}^n w(x_i) F(x_i) x_i^k; \quad k = 0, 1, \dots, m$$

$$\sum_{j=0}^m \left(\sum_{i=0}^n w(x_i) x_i^{j+k} \right) a_j = \sum_{i=0}^n w(x_i) F(x_i) x_i^k$$

gdzie:

$$\sum_{i=0}^n w(x_i) x_i^{j+k} = g_{j,k}$$
$$\sum_{i=0}^n w(x_i) F(x_i) x_i^k = b_k$$

W postaci macierzowej:

$$\begin{bmatrix} \sum w_i & \sum w_i x_i & \sum w_i x_i^2 & \dots & \sum w_i x_i^m \\ \sum w_i x_i & \sum w_i x_i^2 & \sum w_i x_i^3 & \dots & \sum w_i x_i^{m+1} \\ \dots & \dots & \dots & \dots & \dots \\ \sum w_i x_i^m & \sum w_i x_i^{m+1} & \sum w_i x_i^{m+2} & \dots & \sum w_i x_i^{2m} \end{bmatrix} \begin{bmatrix} a_0 \\ a_1 \\ \dots \\ a_m \end{bmatrix} = \begin{bmatrix} \sum w_i F_i \\ \sum w_i F_i x_i \\ \dots \\ \sum w_i F_i x_i^m \end{bmatrix}$$

$$\underline{G \cdot A = B}$$

Jeżeli x_0, x_1, \dots, x_n są różne i $m \leq n$ to $\det G \neq 0 \rightarrow$ układ ma jedno rozwiązanie.

4.2 Ocena dokładności

Dokładność interpolacji można ocenić porównując następujące wartości:

- Błąd bezwzględny
 $|F(x) - f(x)|$

- Błąd maksymalny
 $\max_i \{|F(x_i) - f(x_i)|\}$
- Suma kwadratów

$$\sum_{i=0}^n (F(x_i) - f(x_i))^2$$

5.1. Implementacja obliczeń

Wszystkie obliczenia były wykonywane przy użyciu 64-bitowego typu zmiennoprzecinkowego `double` (w kodzie zaliasowany jako `flt`)

W celu wygenerowania węzłów użyto funkcji generującej, zaimplementowanej w poprzednim ćwiczeniu:

`nodes::uniform` (węzły równoodległe), korzystając ze wzoru

$$x_i = a + \frac{b-a}{n-1}i$$

Następnie zaimplementowano funkcję `approx::_least_square()`, przyjmującą tablicę wartości $F(x_i)$, tablicę z węzłami x_i , wartość m oraz tablicę wag $w(x_i)$, a zwracającą obiekt wywołalny, odpowiadający funkcji aproksymującej.

Istnieje też funkcja `approx::least_square()`, przyjmująca funkcję $F(x)$, funkcję generującą węzły, liczbę węzłów, wartość m , tablicę wag $w(x_i)$, oraz przedział aproksymacji. Generuje dane i przekazuje je do `approx::_least_square()`, zwracając jej rezultat.

Układy równań rozwiązuje funkcja `matrix::solve()`, przyjmująca macierz układu równań i prawy wektor, zwracająca krotkę zawierającą wektor wyliczonych wartości, przekształconą macierz i przekształcony prawy wektor. Korzysta ona z funkcji pomocniczych

`matrix::gauss_elim()` i `matrix::back_subst()`.

`matrix::gauss_elim()` przyjmuje to samo co `matrix::solve()`, a zwraca krotkę z przekształconą macierzą i wektorem prawym. Wykonuje ona eliminację gaussa, zoptymalizowaną *partial pivotingiem* w celu zwiększenia stabilności numerycznej.

Funkcja `matrix::back_subst()` przyjmuje i zwraca to samo co `matrix::solve()`. Wykonuje operację podstawienia wstecznego, sprowadzając macierz wejściową do postaci jednostkowej. Wszystkie operacje wykonywane na macierzy przez funkcje pomocnicze wykonują się też na prawym wektorze.

Użyto też funkcje obliczające błędy interpolacji, zaimplementowane w poprzednim ćwiczeniu:

- `error::abs` – przyjmująca funkcję interpolowaną, wielomian interpolujący i tablicę węzłów, zwracająca tablicę błędów bezwzględnych
- `error::max` – w 2 wersjach: pierwsza, przyjmująca funkcję interpolowaną, wielomian interpolujący i tablicę węzłów i obliczająca wcześniej błąd bezwzględny, i druga, przyjmująca tablicę błędów bezwzględnych, obie zwracają wartość maksymalną z tablicy błędów bezwzględnych
- `error::sum_squared` – w 2 wersjach: pierwsza, przyjmująca funkcję interpolowaną, wielomian interpolujący i tablicę węzłów i obliczająca wcześniej błąd bezwzględny, i druga, przyjmująca tablicę błędów bezwzględnych, obie zwracają sumę kwadratów błędów bezwzględnych

W funkcji `main` prowadzone są obliczenia dla kolejnych ilości węzłów. Wartości funkcji interpolowanej, jak i interpolacji są zapisywane w plikach `approximation_results/result_<m>_<ilość węzłów>.txt`

Wartości błędów bezwzględnych w plikach

`approximation_results/error_<m>_<ilość węzłów>.txt`

Wartości maksymalne błędów bezwzględnych w pliku

`approximation_results/__ls_max_abs.txt`

Sumy kwadratów błędów bezwzględnych w pliku

`approximation_results/__ls_sum_squared.txt`

Logarytm naturalny wartości maksymalnych błędów bezwzględnych w

pliku `approximation_results/__ls_max_abs.txt`

Logarytm sum kwadratów błędów bezwzględnych w pliku

`approximation_results/__ls_sum_squared.txt`

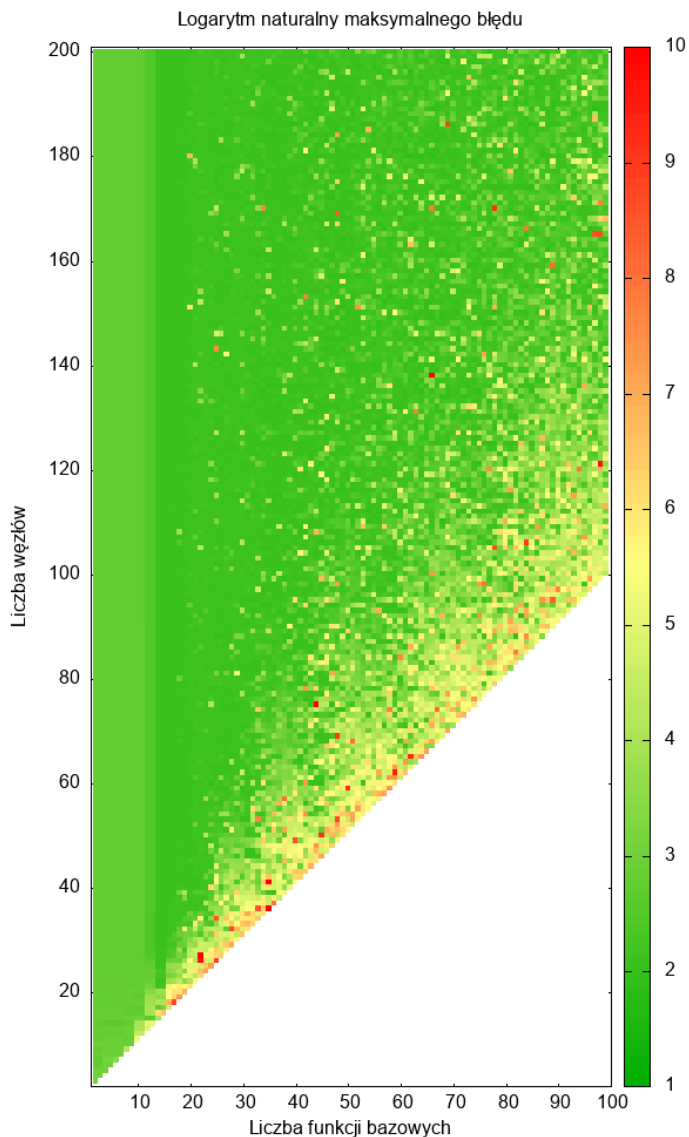
W folderze `approximation_images/` są zapisywane wykresy funkcji interpolowanej, interpolacji i wartości błędów.

Ze względu na dużą liczbę kombinacji n i m , domyślnie wyłączono zapisywanie wyników i wykresów dla indywidualnych aproksymacji.

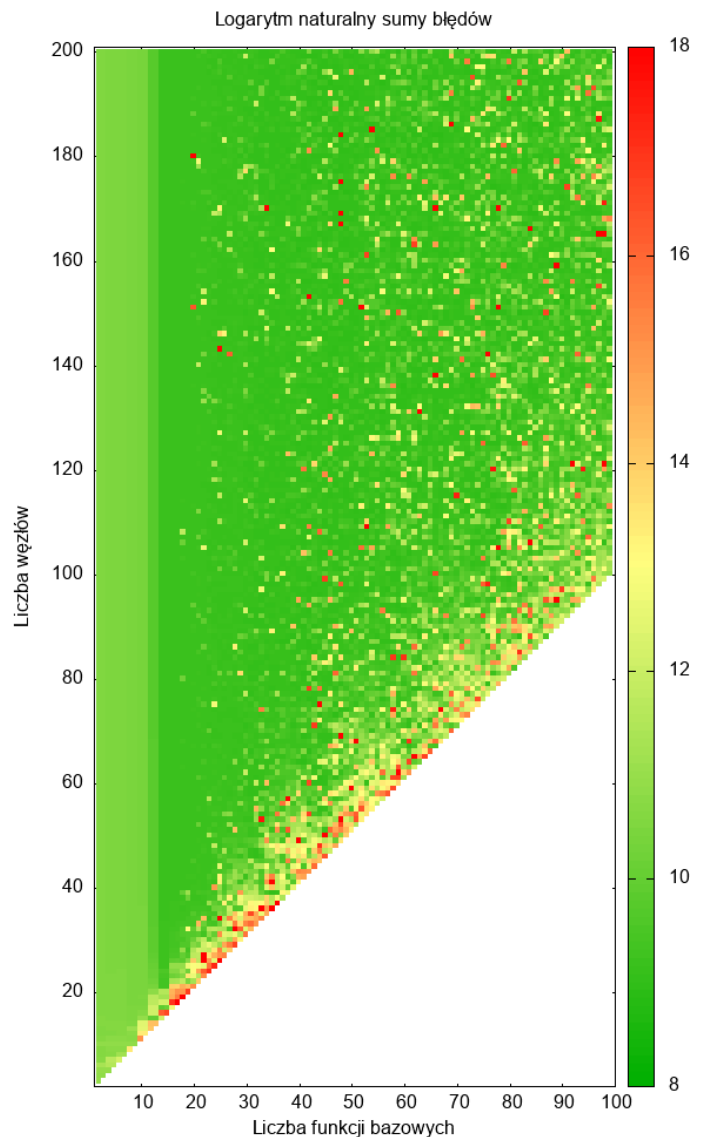
W funkcji `main()` istnieje zbiór `save_whitelist`, zawierający pary $\{m, n\}$. Program zapisze indywidualne wyniki tylko tych aproksymacji, które znajdują się w tym zbiorze.

6. Wyniki obliczeń

Wykonano obliczenia błędów dla liczby funkcji bazowych $m = 2, \dots, n - 1$ (ograniczone do 99), (wielomianów stopnia $m + 1$) i dla liczby węzłów $n = 3, \dots, 200$. Poniżej znajdują się mapy cieplne, przedstawiające błędy maksymalne oraz sumy błędów.



Wykres 1. Logarytm błędów maksymalnych aproksymacji



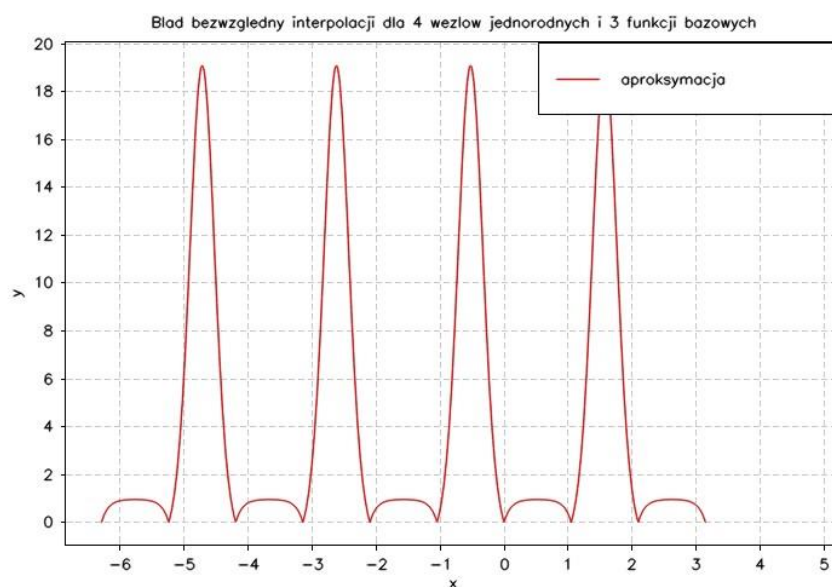
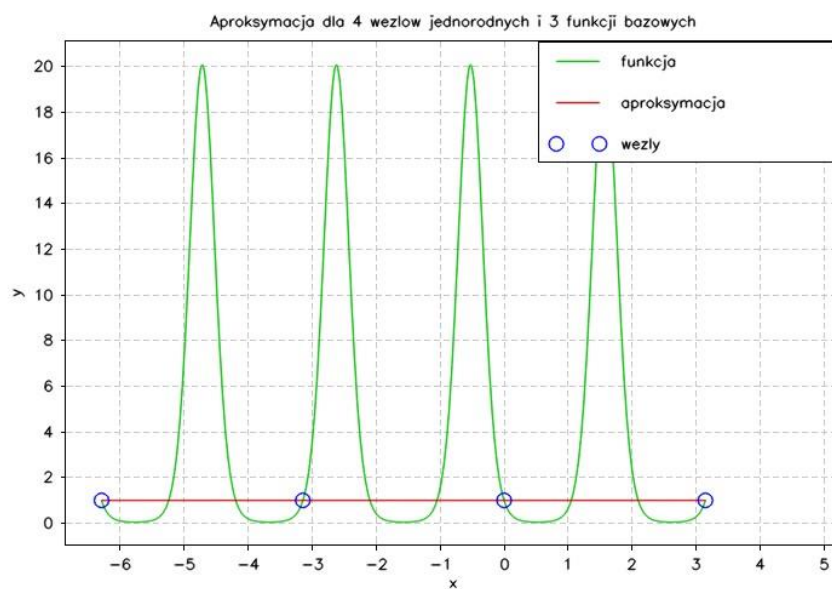
Wykres 2. Logarytm sum błędów aproksymacji

Jak widać na mapach cieplnych, największe błędy powstają gdy n i m są sobie bliskie. Wtedy też występuje największe zagęszczenie błędów o większych wartościach. Do około 15 funkcji bazowych widać obszar w którym niezależnie od liczby węzłów, wartości błędów mają podobne, niższe wartości. Jest to prawdą także gdy n i m są sobie bliskie. Następnie dla większej ilości funkcji bazowych widać spadek w wartościach błędów. Jednocześnie zaczynają się pojawiać, na pierwszy rzut oka losowe miejsca, gdzie wartości błędów nagle wzrastają, by potem znowu opaść. W miarę zbliżania się do siebie n i m , częstotliwość takich przypadków rośnie.

6.1 Porównanie wielomianów o tej samej ilości funkcji bazowych m .

6.1.1 $m = 3$

6.1.1.1 $n = 4$

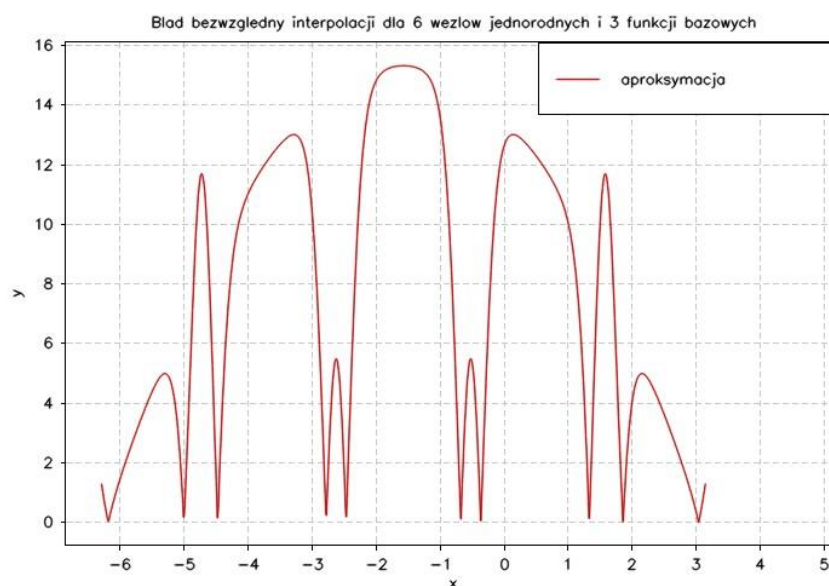
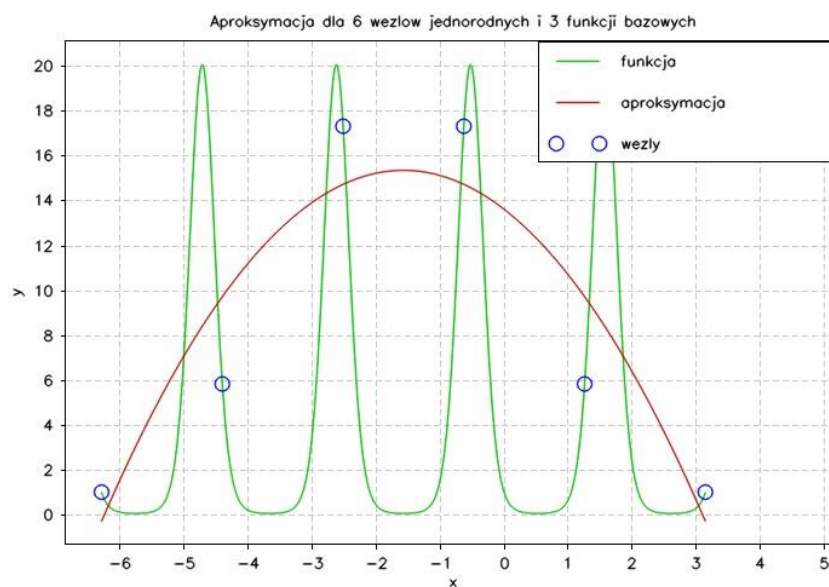


Błąd maksymalny	19.08549057
Suma kwadratów błędów	49053.6982

Tabela 1. Wartości błędów dla $m = 3$ i $n = 4$.

Dla $n = 4$ aproksymacja przyjęła postać prostej linii. Osiąga w węzłach równe wartości.

6.1.1.2 $n = 6$

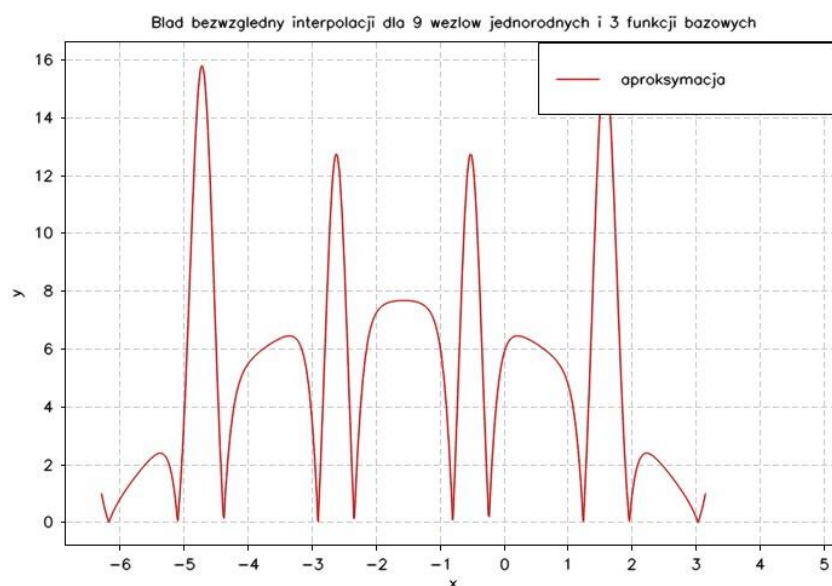
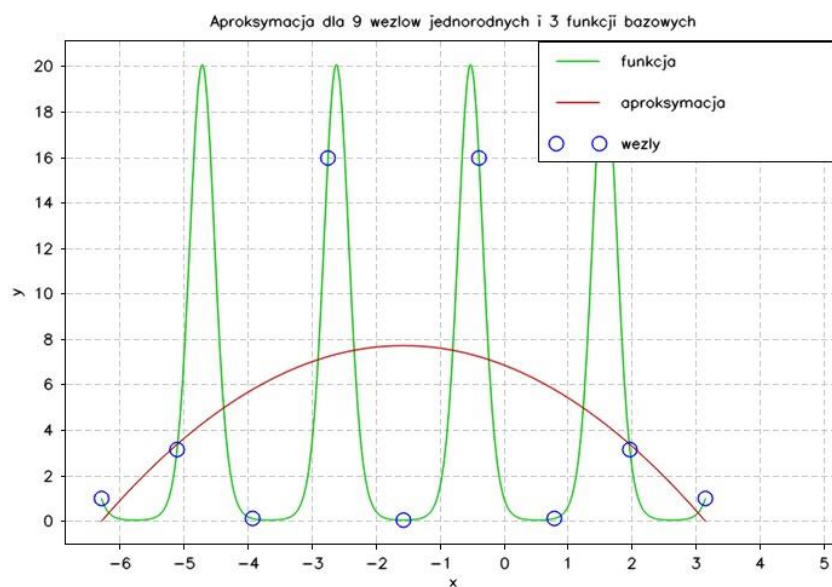


Błąd maksymalny	15.32119168
Suma kwadratów błędów	80155.86914

Tabela 2. Wartości błędów dla $m = 3$ i $n = 6$.

Dla $n = 6$ aproksymacja wybrzuszyła się do góry. Błąd maksymalny zmniejszył się, jednak suma zwiększyła się prawie dwukrotnie.

6.1.1.3 $n = 9$

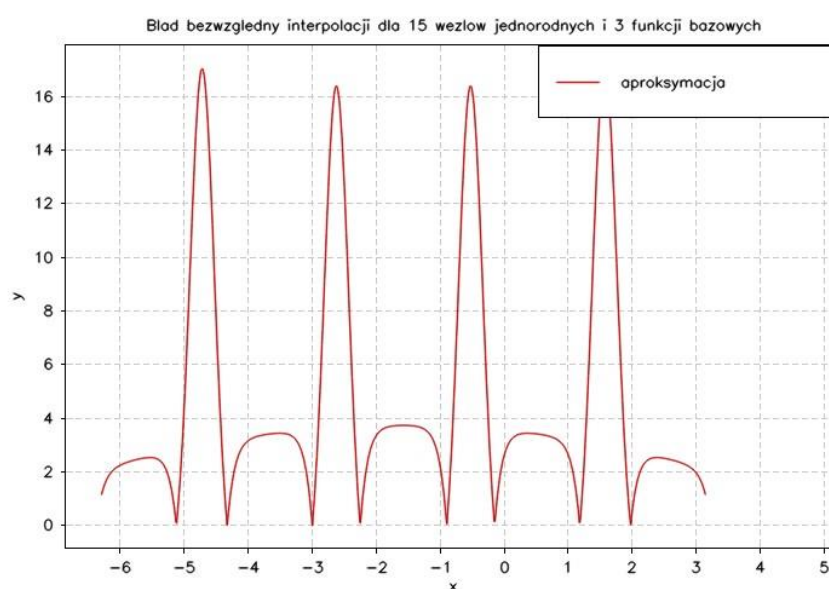
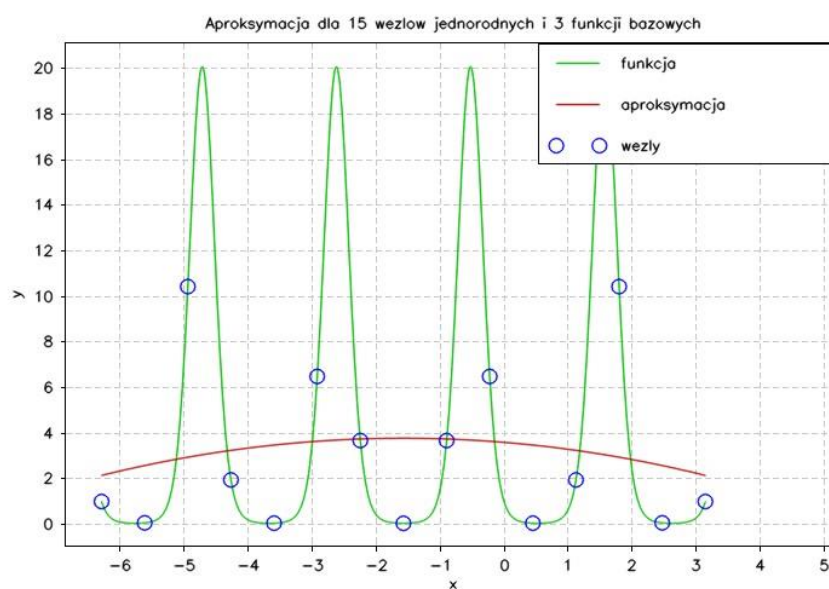


Błąd maksymalny	15.79651987
Suma kwadratów błędów	38881.13246

Tabela 3. Wartości błędów dla $m = 3$ i $n = 9$.

Dla $n = 9$ aproksymacja nieco się wypłaszczyła. Błąd maksymalny lekko zwiększył się, jednak suma zmniejszyła się ponad dwukrotnie.

6.1.1.4 $n = 15$



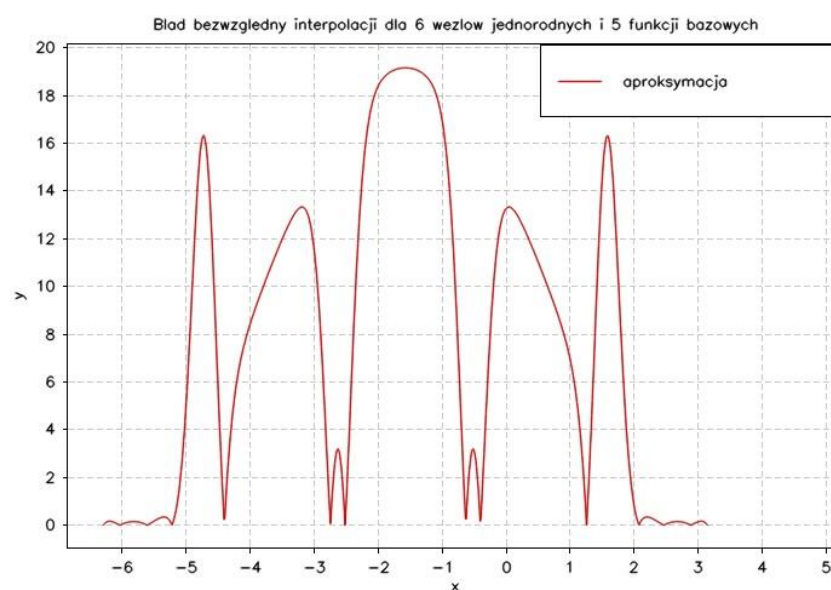
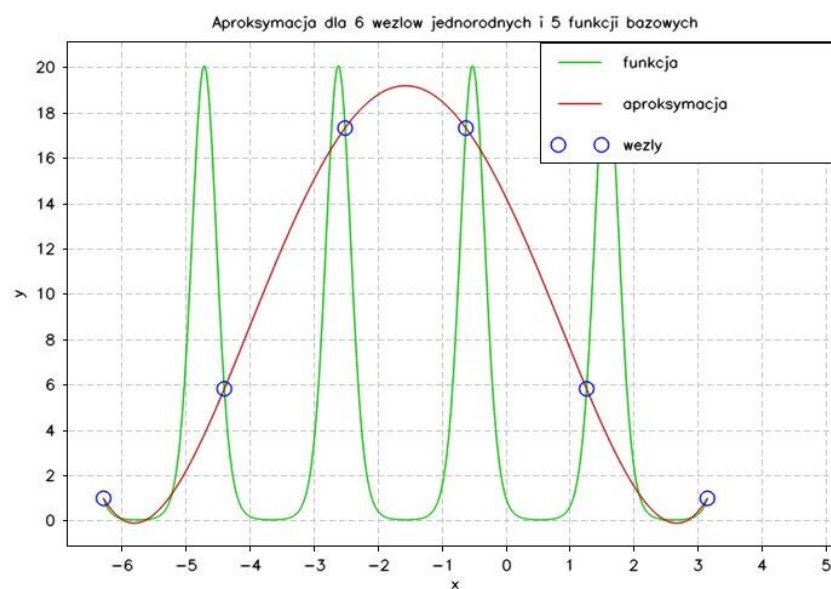
Błąd maksymalny	17.02934911
Suma kwadratów błędów	38731.88079

Tabela 4. Wartości błędów dla $m = 3$ i $n = 15$.

Dla $n = 15$ aproksymacja wypłaszczyła się jeszcze bardziej. Błąd maksymalny zwiększył się, a suma się lekko zmniejszyła ponad dwukrotnie.

6.1.2 $m = 5$

6.1.2.1 $n = 6$

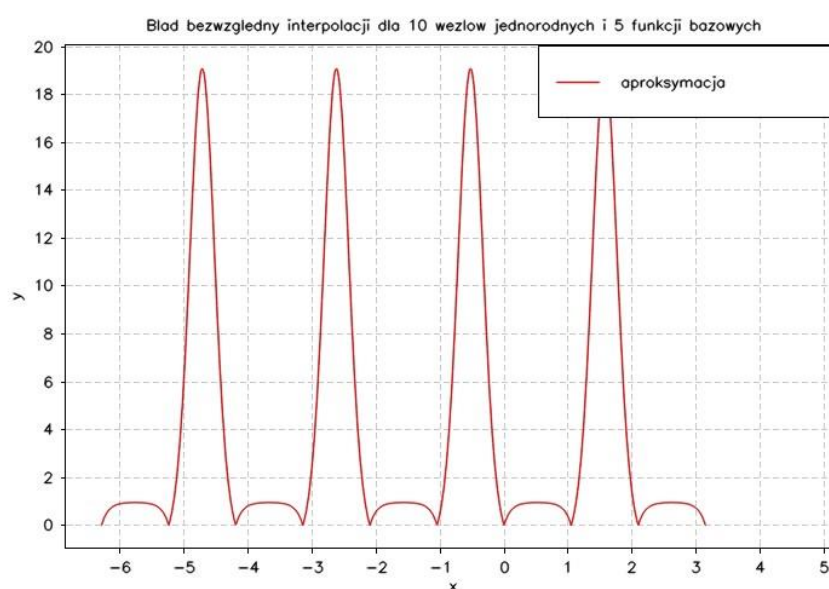
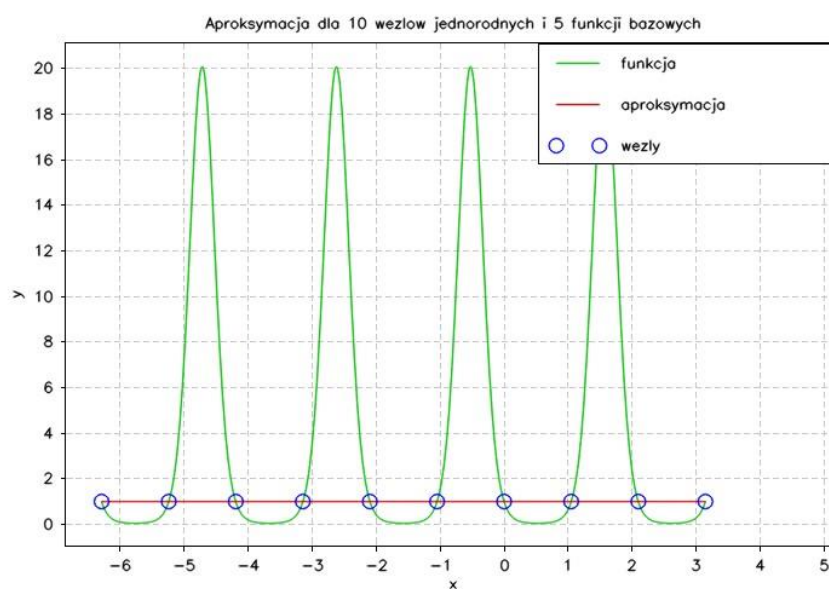


Błąd maksymalny	19.15801012
Suma kwadratów błędów	98225.00605

Tabela 5. Wartości błędów dla $m = 5$ i $n = 6$.

Funkcja przyjęła kształt podobny do rozkładu standardowego. Przybliżenie jest dość dobre na krańcach przedziału aproksymacji.

6.1.2.2 $n = 10$

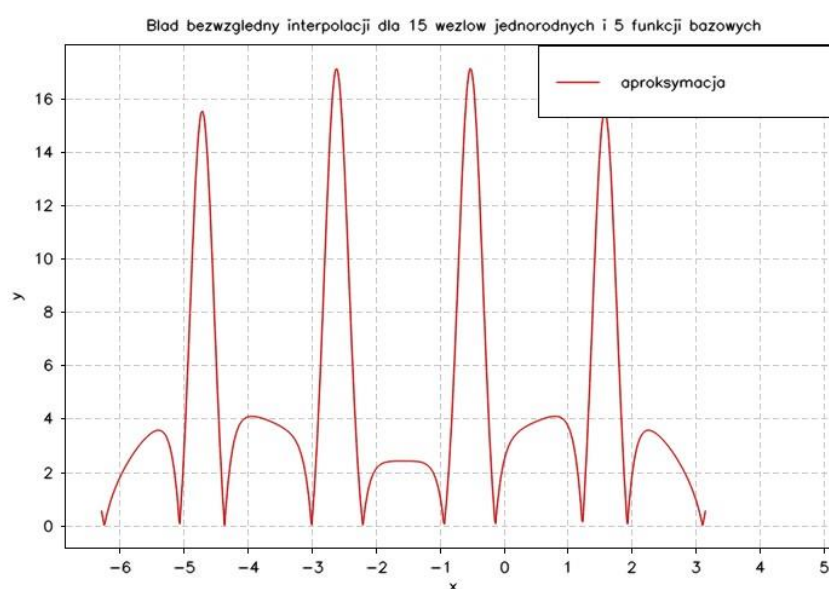
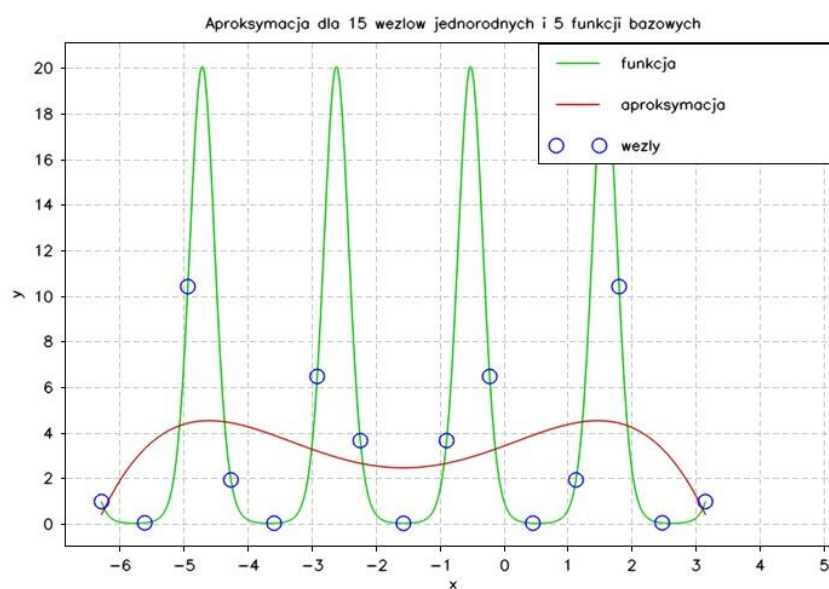


Błąd maksymalny	19.08549057
Suma kwadratów błędów	49053.6982

Tabela 6. Wartości błędów dla $m = 5$ i $n = 10$.

Dla $n = 10$ funkcja przyjęła kształt prostej linii. Wartości błędów są identyczne do tych w tabeli 1.

6.1.2.3 $n = 15$

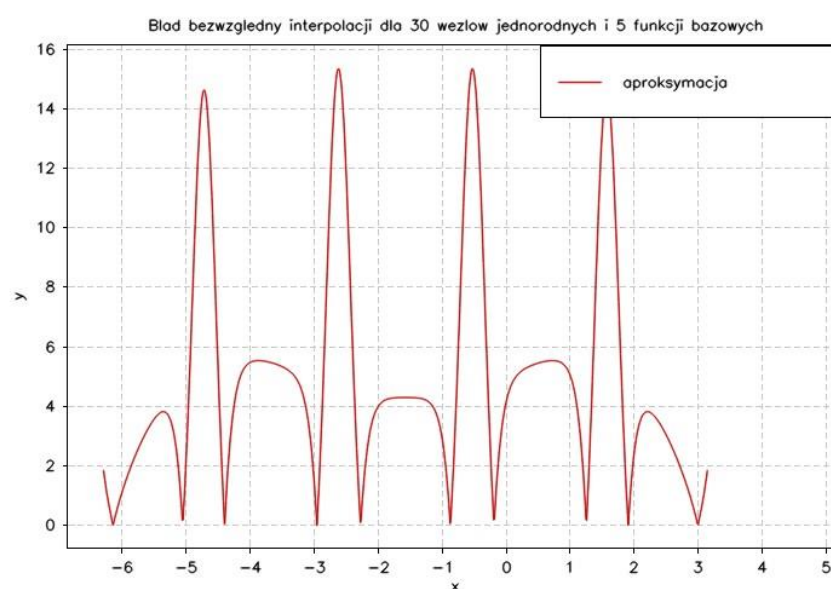
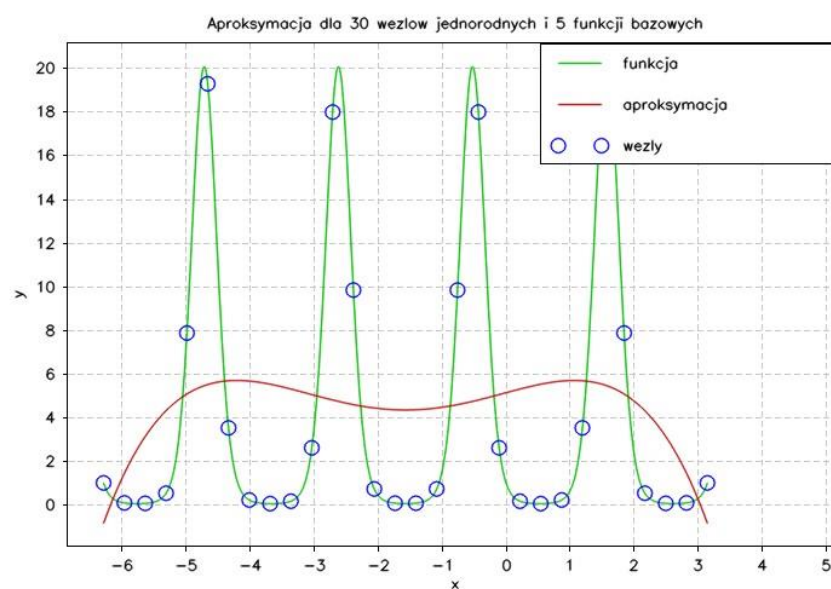


Błąd maksymalny	17.13859294
Suma kwadratów błędów	37523.91682

Tabela 7. Wartości błędów dla $m = 5$ i $n = 15$.

Dla $n = 15$ funkcja nieco się wygięła. Wartości błędów zmniejszyły się.

6.1.2.4 $n = 30$



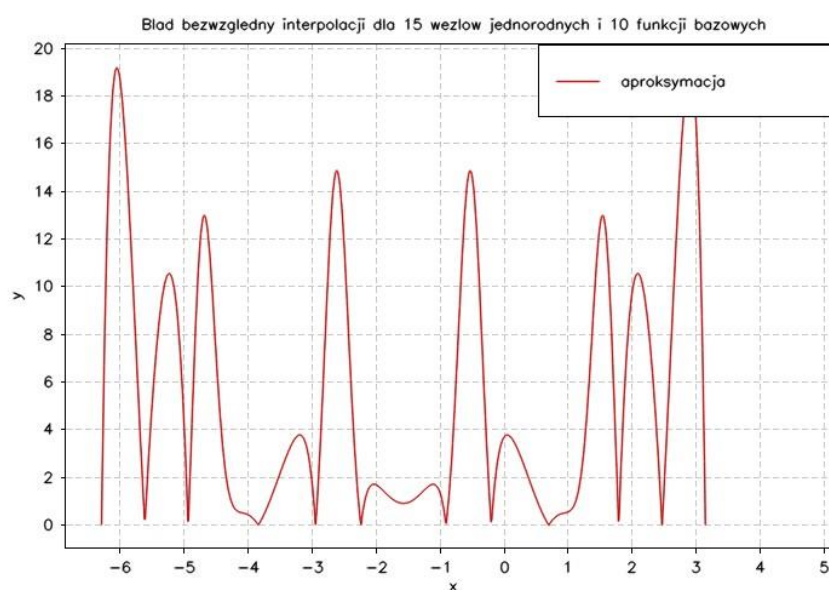
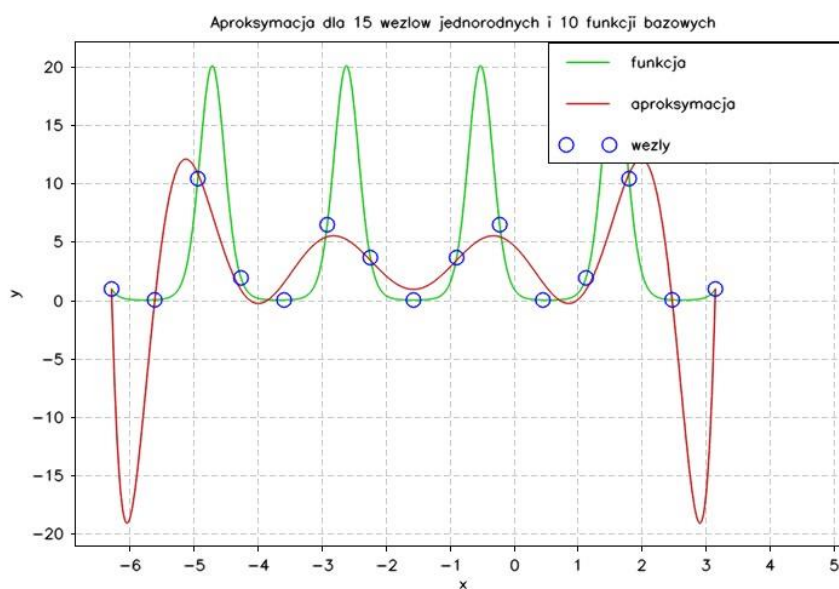
Błąd maksymalny	15.34603878
Suma kwadratów błędów	35531.57861

Tabela 8. Wartości błędów dla $m = 5$ i $n = 30$.

Dla $n = 30$ funkcja nieco się podniosła. Wartości błędów ponownie się zmniejszyły.

6.1.3 $m = 10$

6.1.3.1 $n = 15$

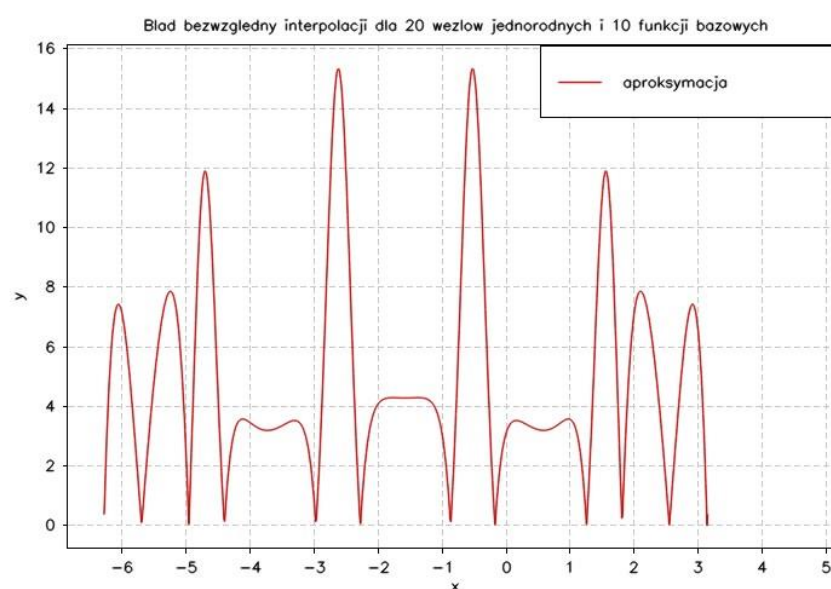
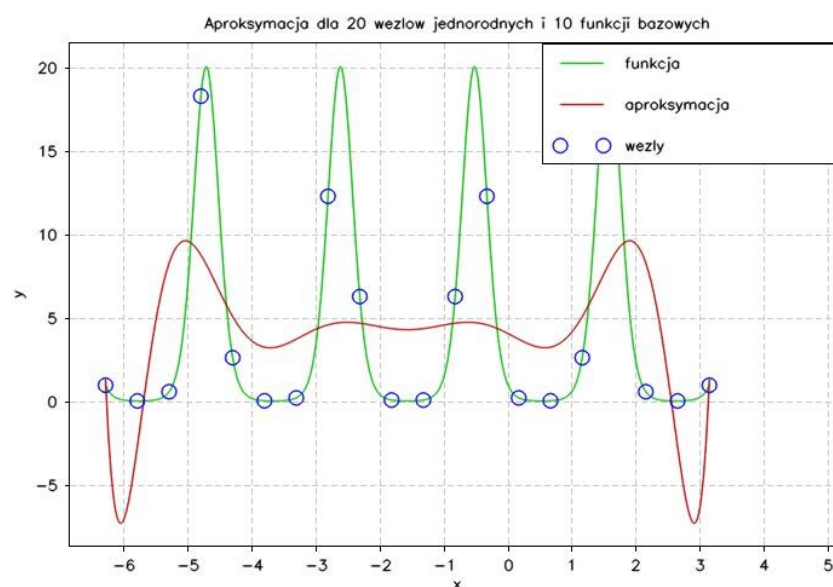


Błąd maksymalny	19.17630977
Suma kwadratów błędów	55276.07428

Tabela 9. Wartości błędów dla $m = 10$ i $n = 15$.

Dla $m = 10$ i $n = 15$ funkcja przyjęła kształt bardziej zbliżony do pierwotnego niż poprzednie aproksymacje. Na krańcach przedziału widoczny niewielki efekt Runge'go.

6.1.3.2 $n = 20$

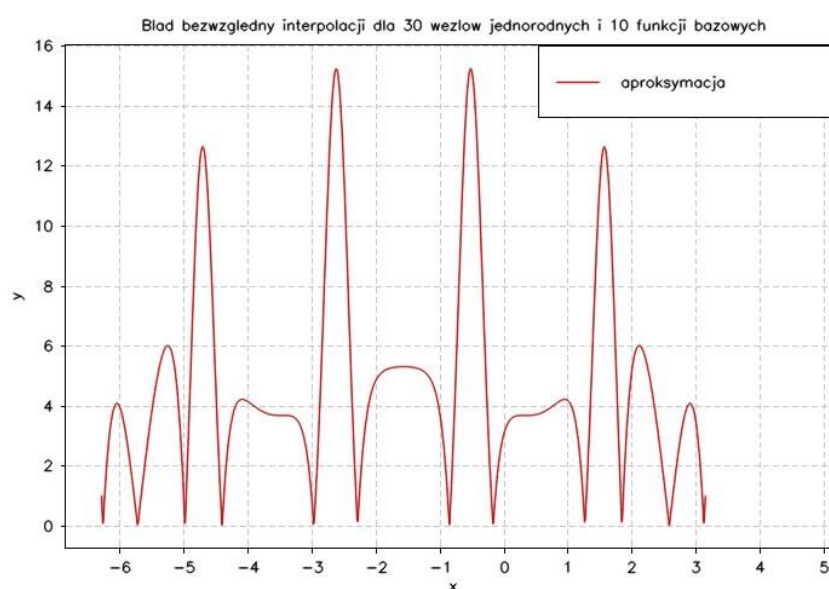
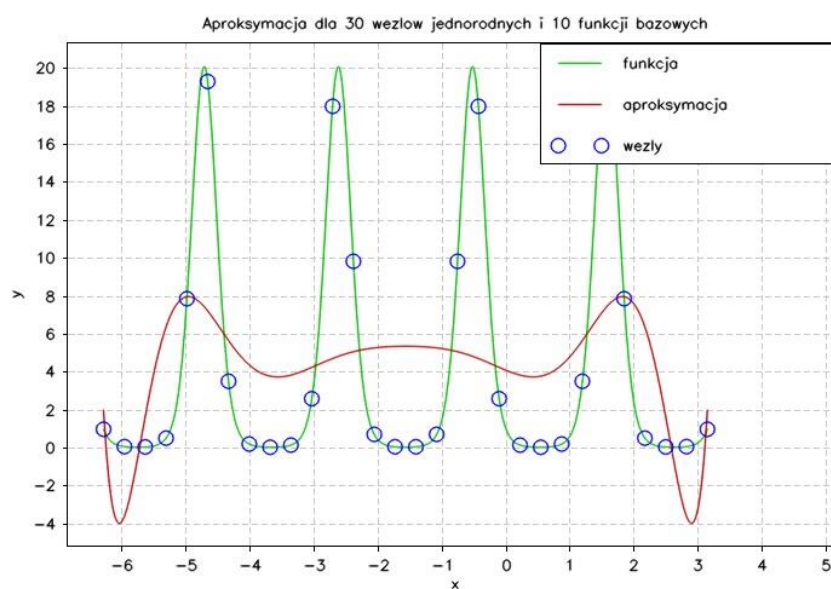


Błąd maksymalny	15.33371645
Suma kwadratów błędów	33353.38043

Tabela 10. Wartości błędów dla $m = 10$ i $n = 20$.

Dla $n = 20$ efekt Runge'go zmniejszył się. Podobnie zmniejszył się błąd maksymalny i suma kwadratów błędów. Widać lekkie wypłaszczenie aproksymacji w okolicach środka przedziału.

6.1.3.3 $n = 30$

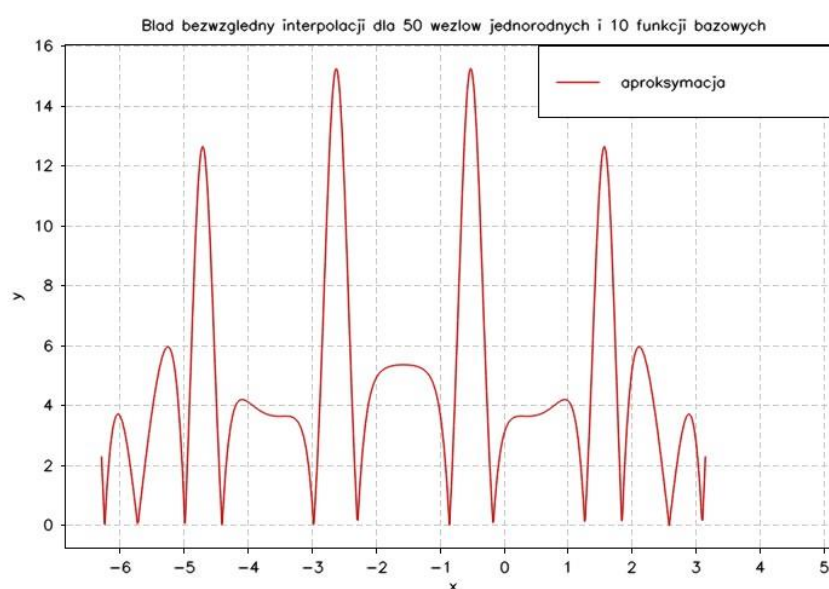
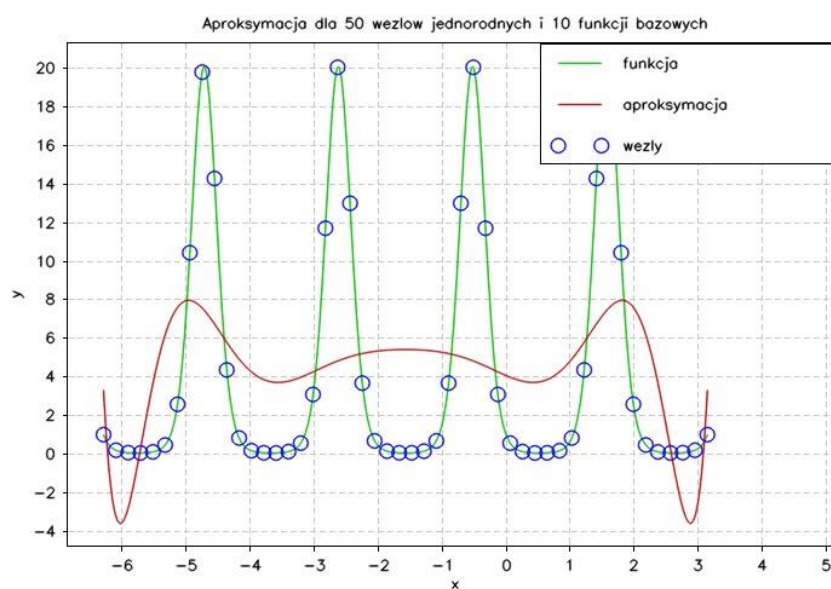


Błąd maksymalny	15.24994725
Suma kwadratów błędów	31753.0865

Tabela 11. Wartości błędów dla $m = 10$ i $n = 30$.

Dla $n = 30$ efekt Runge'go dalej zmniejsza się. Podobnie widać lekkie zmniejszenie błędu maksymalnego i sumy kwadratów błędów.

6.1.3.4 $n = 50$



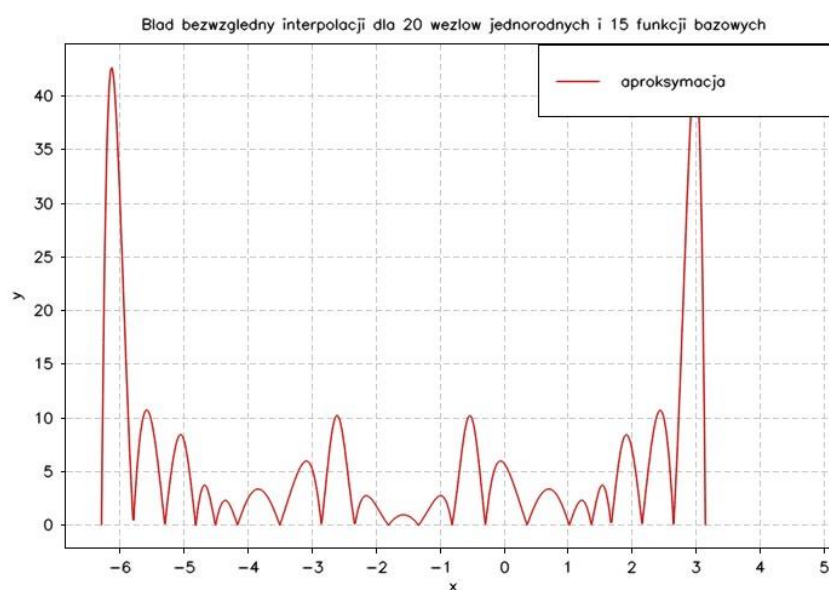
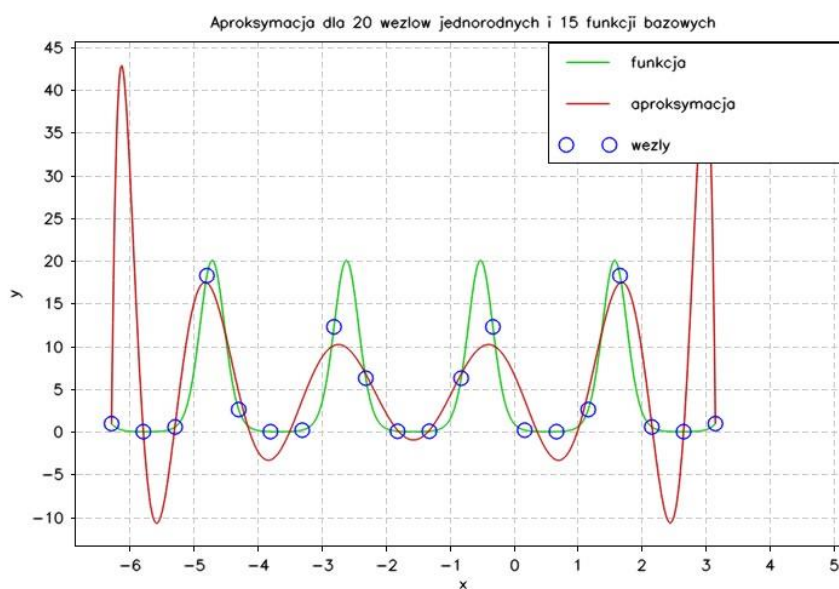
Błąd maksymalny	15.97739197
Suma kwadratów błędów	32488.11965

Tabela 12. Wartości błędów dla $m = 10$ i $n = 50$.

Zwiększając n do 50 nie widać znaczącej zmiany w wykresie aproksymacji. Jedynie można zauważyć niewielkie zmiany na krańcach przedziału. Podobnie wartości błędów są bliskie poprzednim.

6.1.4 $m = 15$

6.1.4.1 $n = 20$

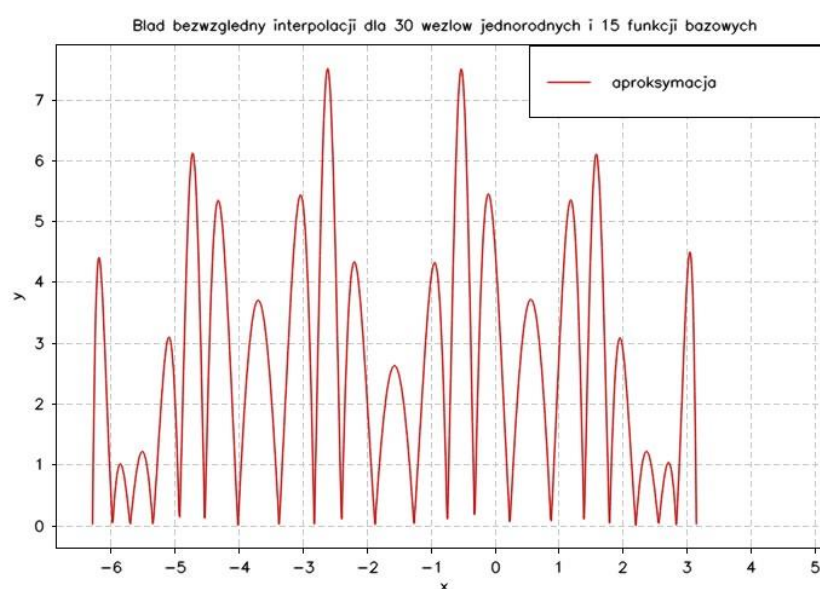
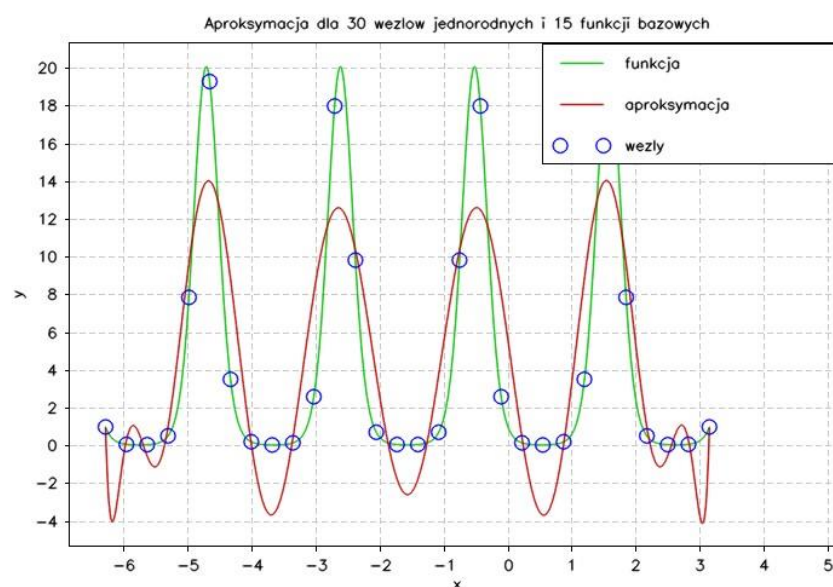


Błąd maksymalny	42.47779825
Suma kwadratów błędów	100076.2622

Tabela 13. Wartości błędów dla $m = 15$ i $n = 20$.

Dla $m = 15$ i $n = 20$ funkcja ponownie przyjęła kształt zbliżony do pierwotnego. Na krańcach przedziału ponownie widać, tym razem większy, efekt Runge'go.

6.1.4.2 $n = 30$

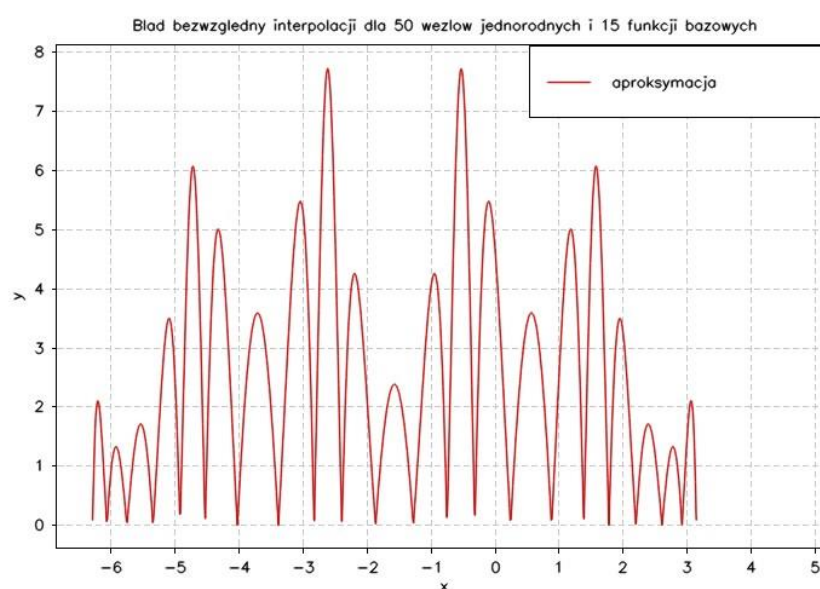
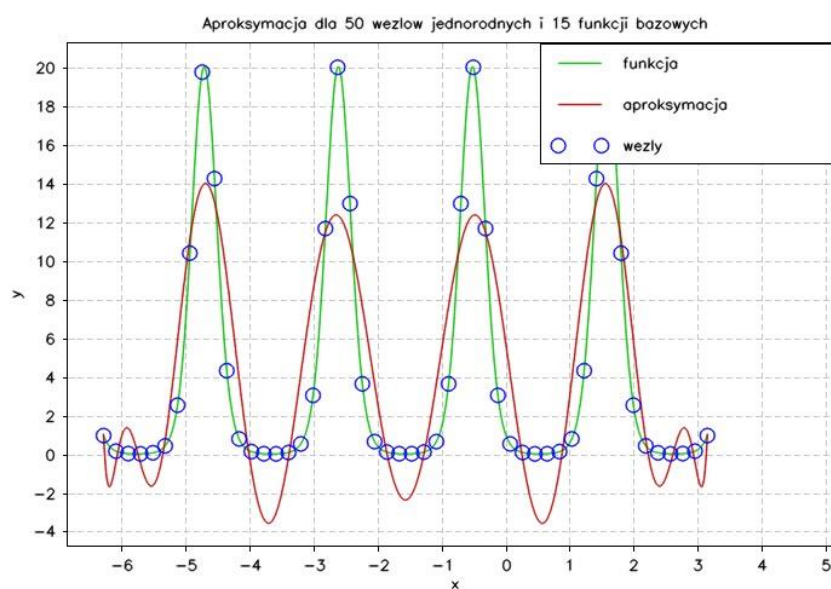


Błąd maksymalny	7.509455576
Suma kwadratów błędów	9833.076368

Tabela 14. Wartości błędów dla $m = 15$ i $n = 30$.

Dla $n = 30$ efekt Runge'go istotnie się zmniejszył. Podobnie widać zmiany w błędzie maksymalnym i sumie kwadratów błędów. Aproksymacja jest bardzo podobna do funkcji pierwotnej.

6.1.4.3 $n = 50$

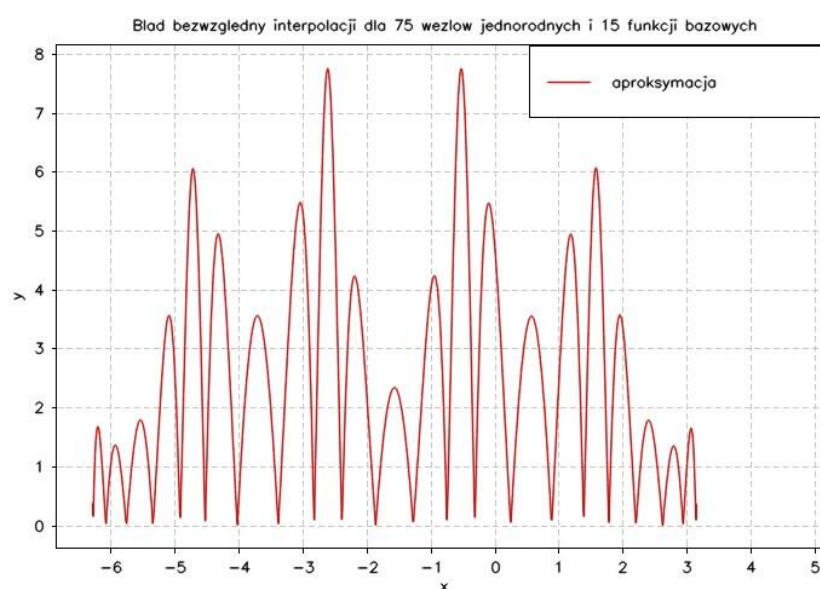
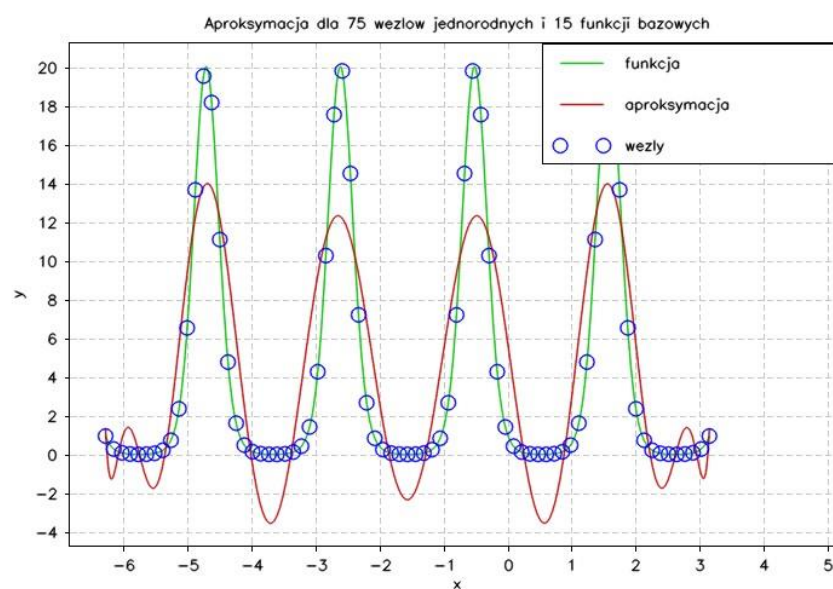


Błąd maksymalny	7.714692102
Suma kwadratów błędów	9394.002639

Tabela 15. Wartości błędów dla $m = 15$ i $n = 50$.

Dla $n = 50$ nie widać efektu Runge'go. Błąd maksymalny lekko się zwiększył, a suma kwadratów zmniejszyła się.

6.1.4.4 $n = 75$



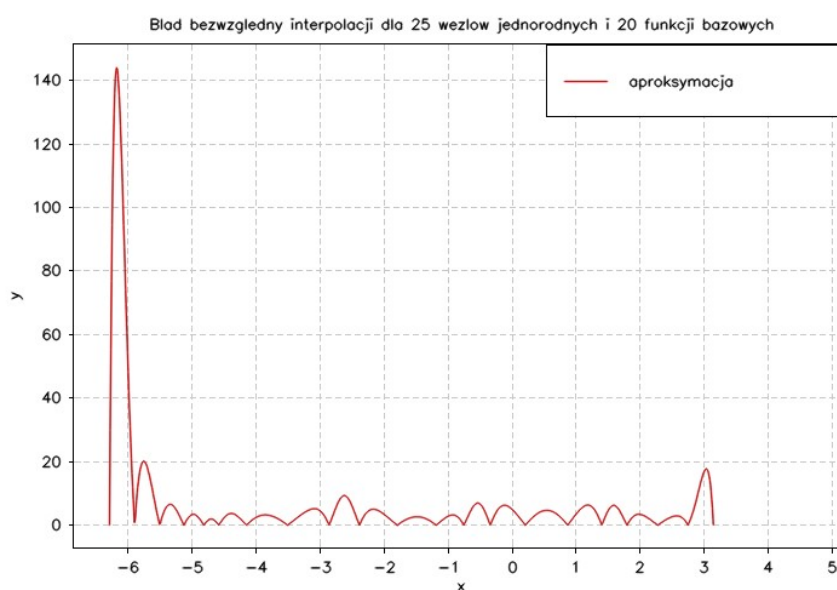
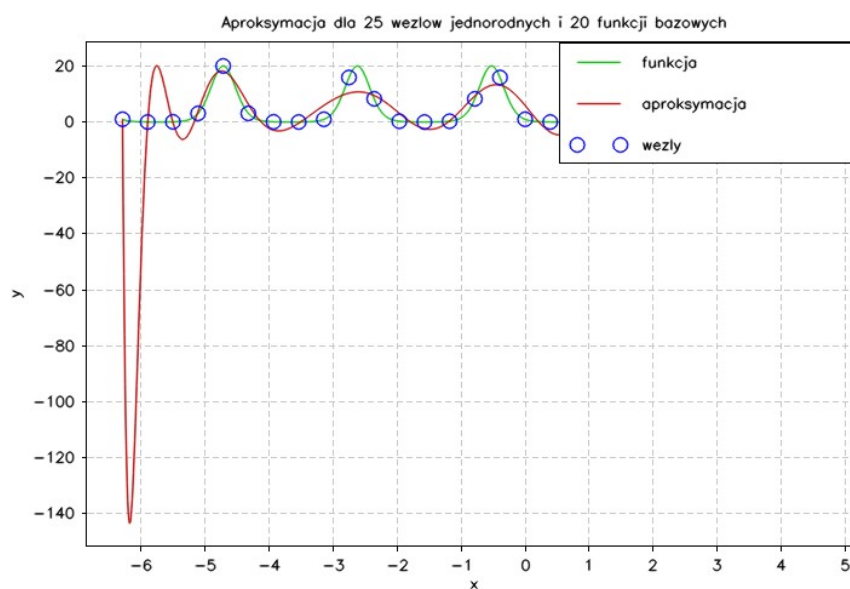
Błąd maksymalny	7.755036965
Suma kwadratów błędów	9371.53623

Tabela 16. Wartości błędów dla $m = 15$ i $n = 75$.

Dla $n = 75$ nie widać znaczącej różnicy od $n = 50$. Jedyne co widać to niewielkie zmiany na krańcach przedziału.

6.1.5 $m = 20$

6.1.5.1 $n = 25$

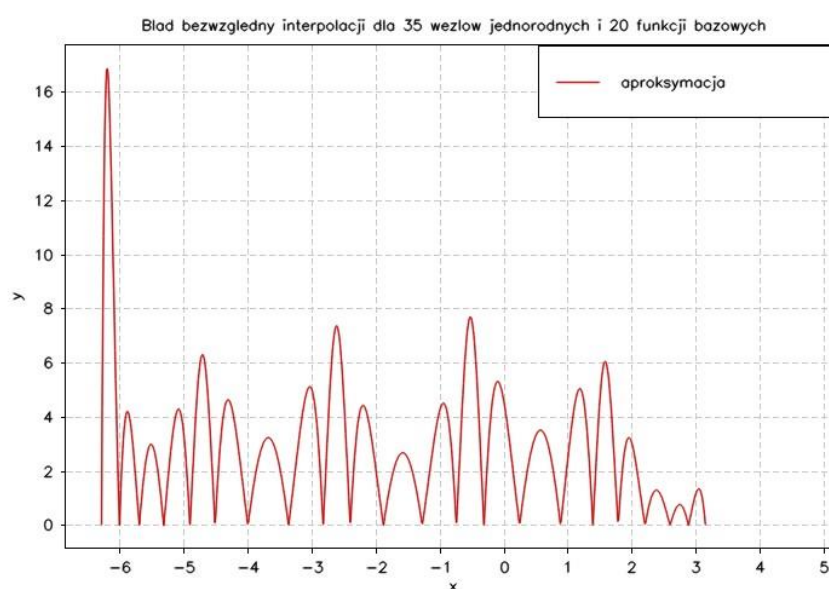
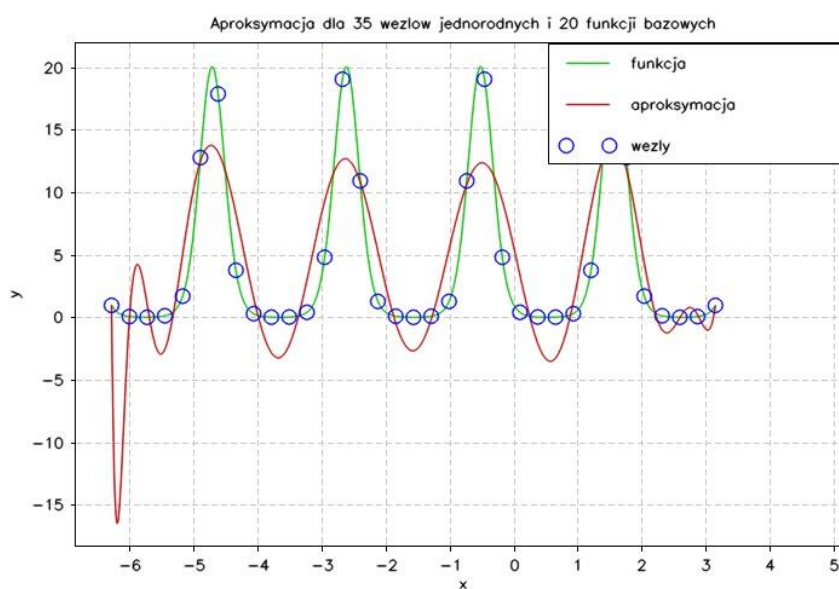


Błąd maksymalny	131.23796
Suma kwadratów błędów	311948.2265

Tabela 17. Wartości błędów dla $m = 20$ i $n = 25$.

Dla $m = 20$ i $n = 25$ funkcja ma spory efekt Runge'go na początku przedziału aproksymacji.

6.1.5.2 $n = 35$

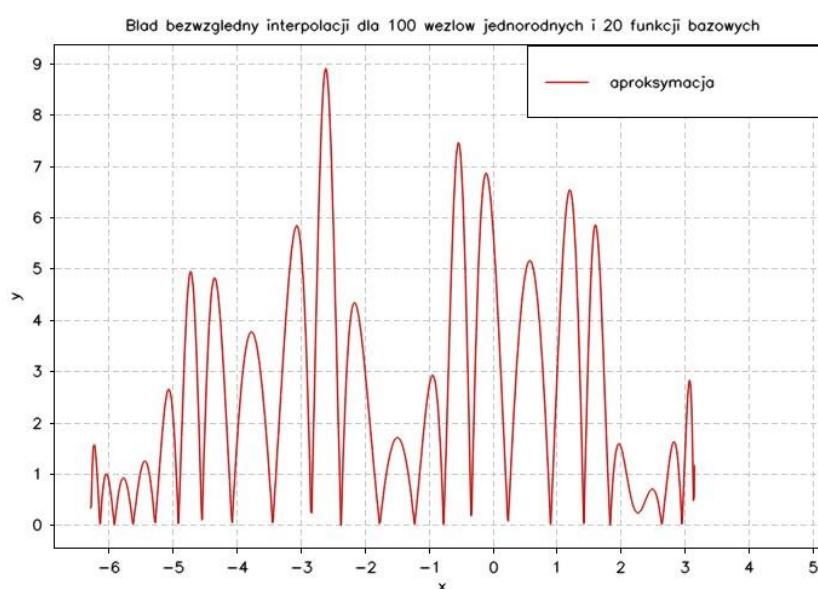
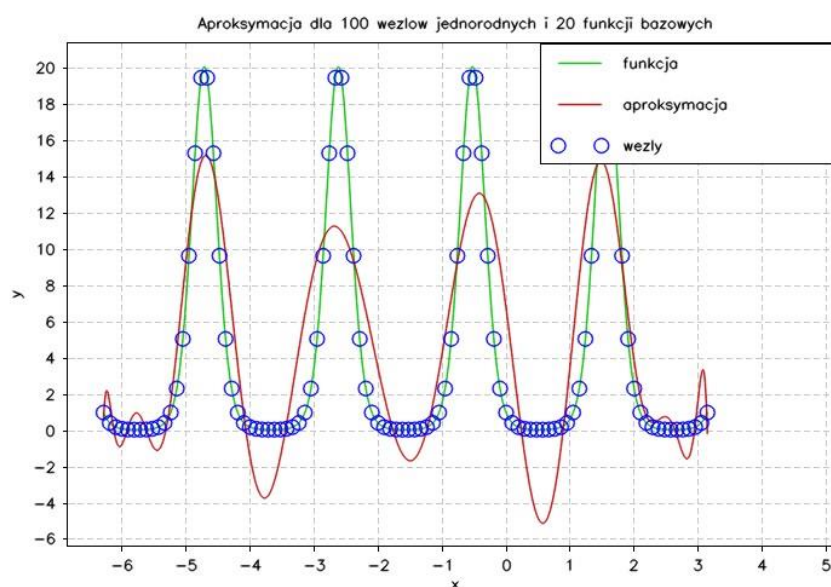


Błąd maksymalny	7.968558048
Suma kwadratów błędów	9847.180654

Tabela 18. Wartości błędów dla $m = 20$ i $n = 35$.

Dla $n = 35$ efekt Runge'go istotnie się zmniejszył. Podobnie widać zmiany w błędzie maksymalnym i sumie kwadratów błędów. Aproksymacja jest w miarę podobna do funkcji pierwotnej.

6.1.5.3 $n = 100$



Błąd maksymalny	7.675449355
Suma kwadratów błędów	9384.290206

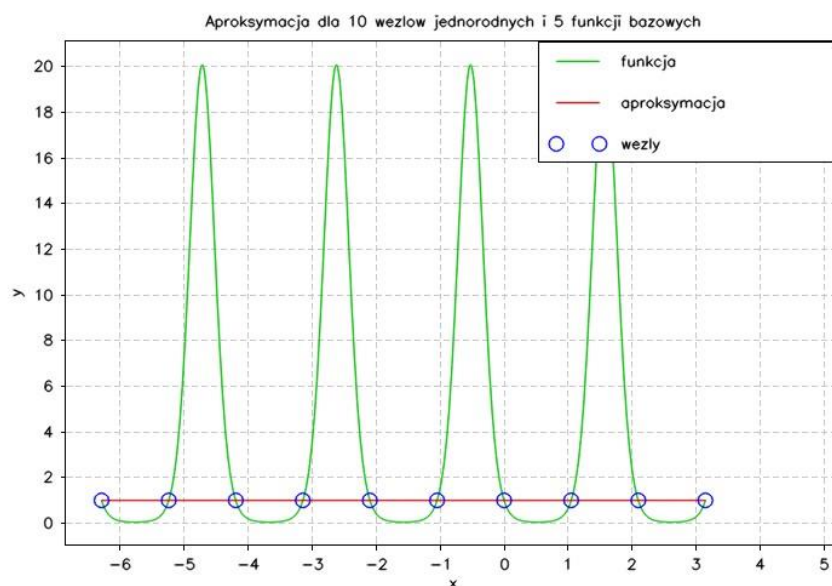
Tabela 19. Wartości błędów dla $m = 20$ i $n = 100$.

Dla $n = 100$ nie widać efektu Runge'go. Błąd maksymalny i suma kwadratów błędów lekko się zmniejszyły.

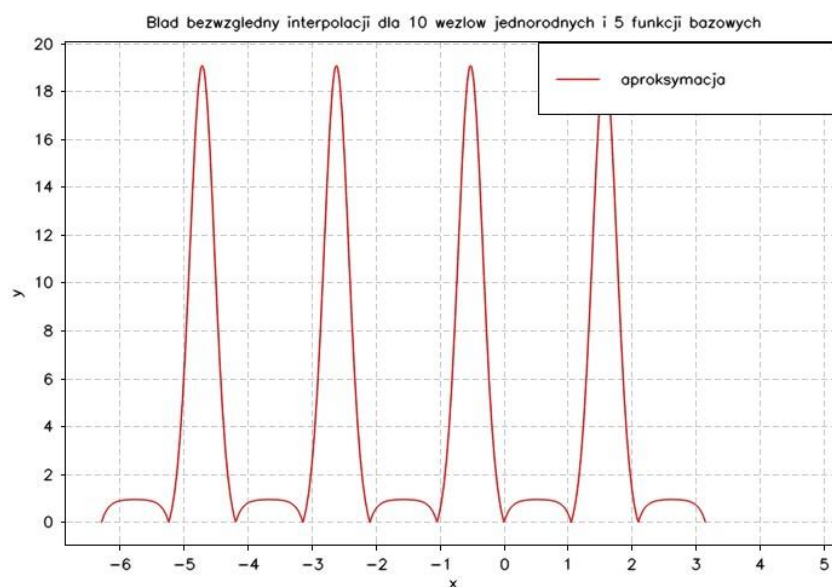
6.2 Porównanie wielomianów o tej samej ilości funkcji bazowych n .

6.2.1 $n = 10$

6.2.1.1 $m = 5$



Wykres 41.



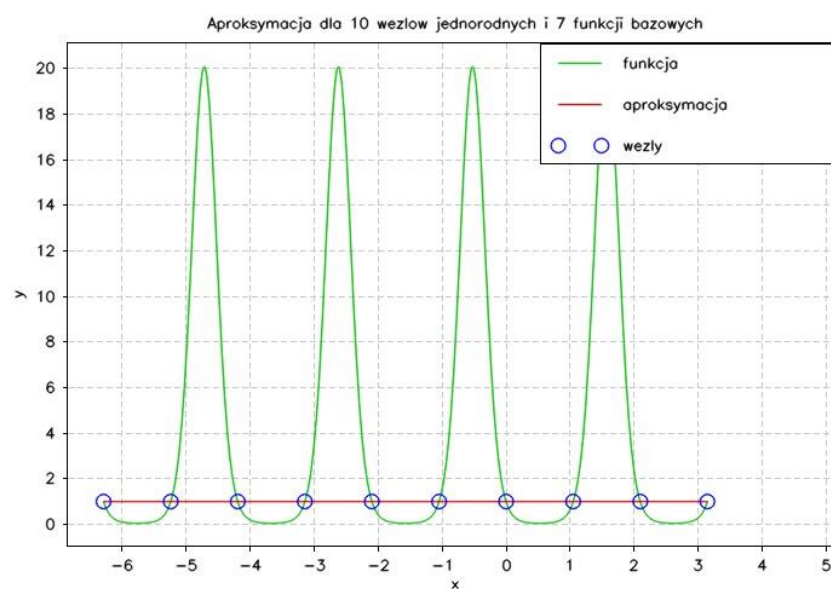
Wykres 42.

Błąd maksymalny	19.08549057
Suma kwadratów błędów	49053.6982

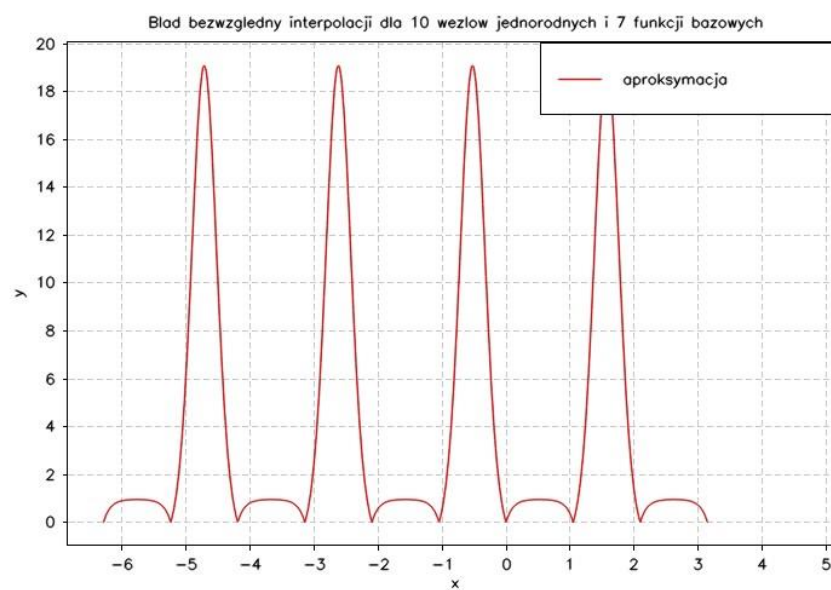
Tabela 20. Wartości błędów dla $m = 5$ i $n = 10$.

Dla $m = 5$ aproksymacja przyjęła postać prostej linii. Osiąga w węzłach równe wartości.

6.2.1.2 $m = 7$



Wykres 43.



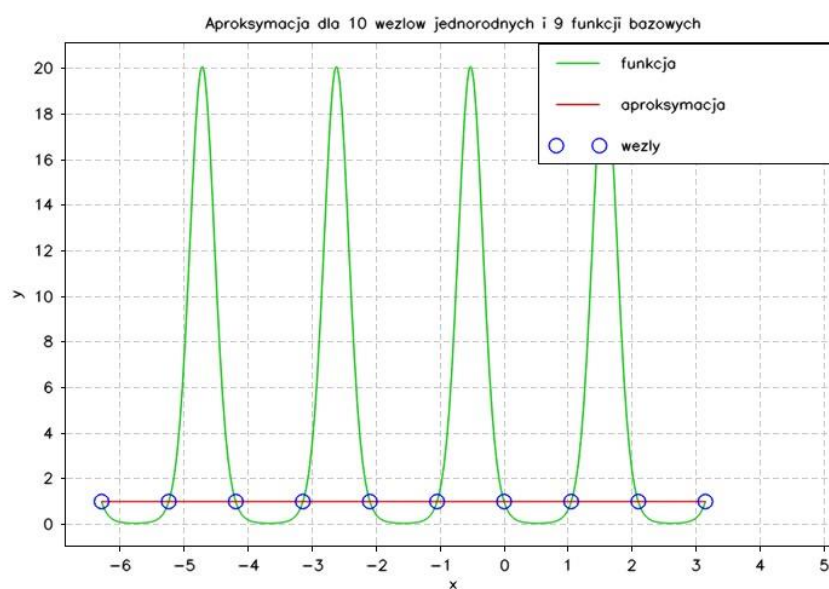
Wykres 44.

Błąd maksymalny	19.08549057
Suma kwadratów błędów	49053.6982

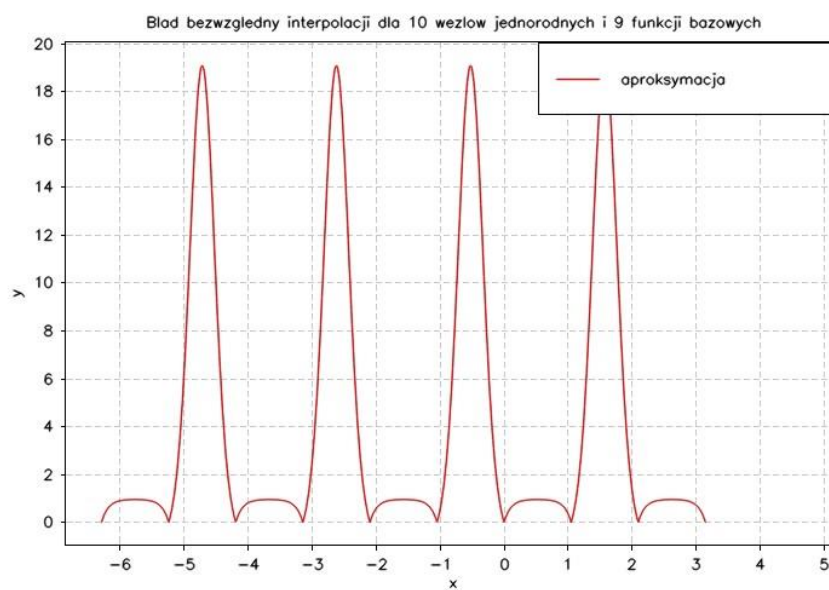
Tabela 21. Wartości błędów dla $m = 7$ i $n = 10$.

Dla $m = 7$ aproksymacja nie zmieniła postaci. W dalszym ciągu jest prostą linią.

6.2.1.3 $m = 9$



Wykres 45.



Wykres 46.

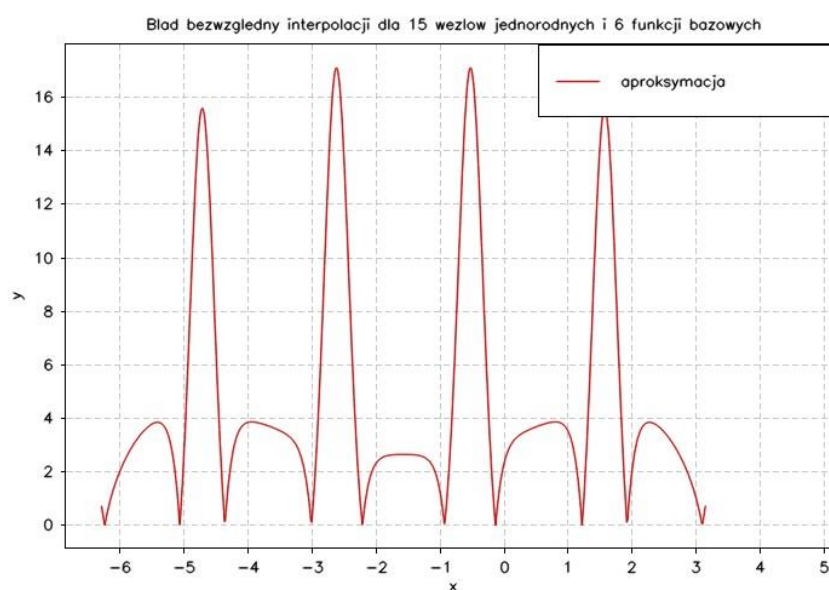
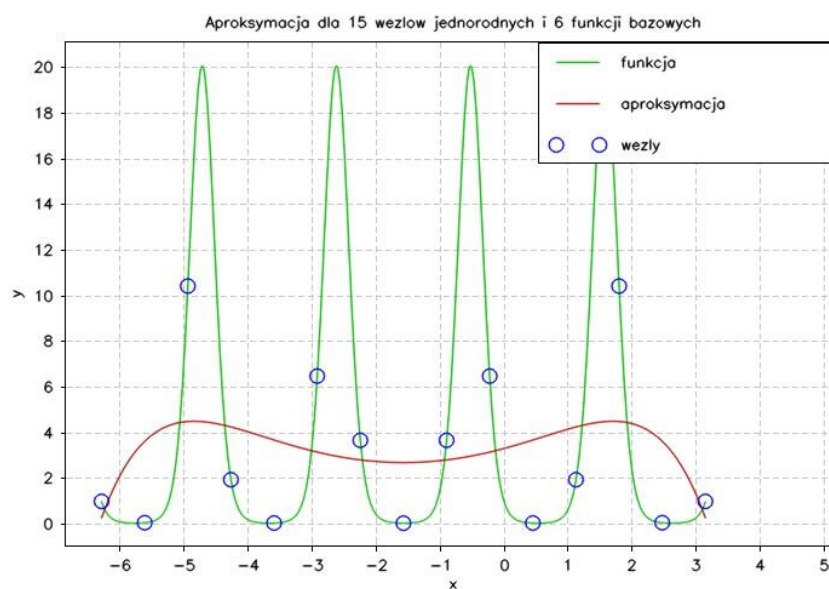
Błąd maksymalny	19.08549057
Suma kwadratów błędów	49053.6982

Tabela 22. Wartości błędów dla $m = 9$ i $n = 10$.

Dla $m = 9$ aproksymacja nie zmieniła postaci. W dalszym ciągu jest prostą linią.

6.2.2 $n = 15$

6.2.2.1 $m = 6$

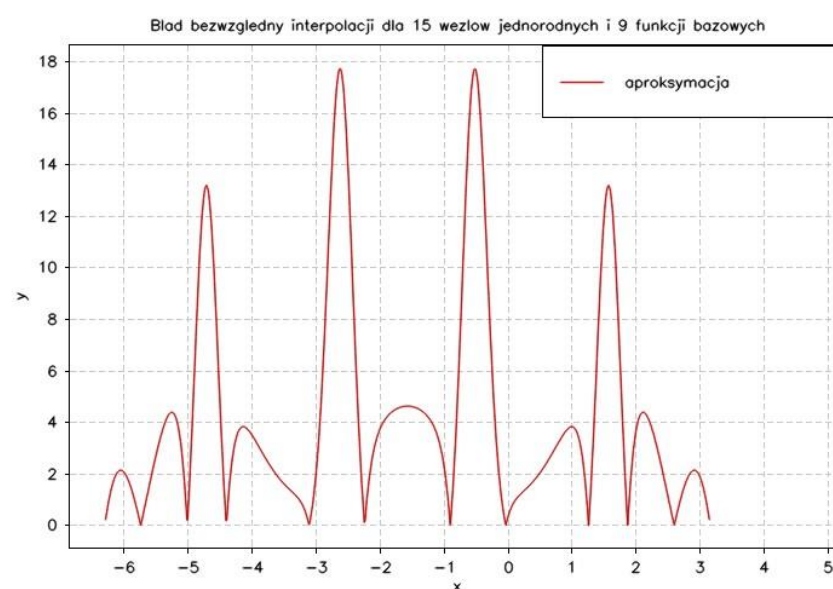
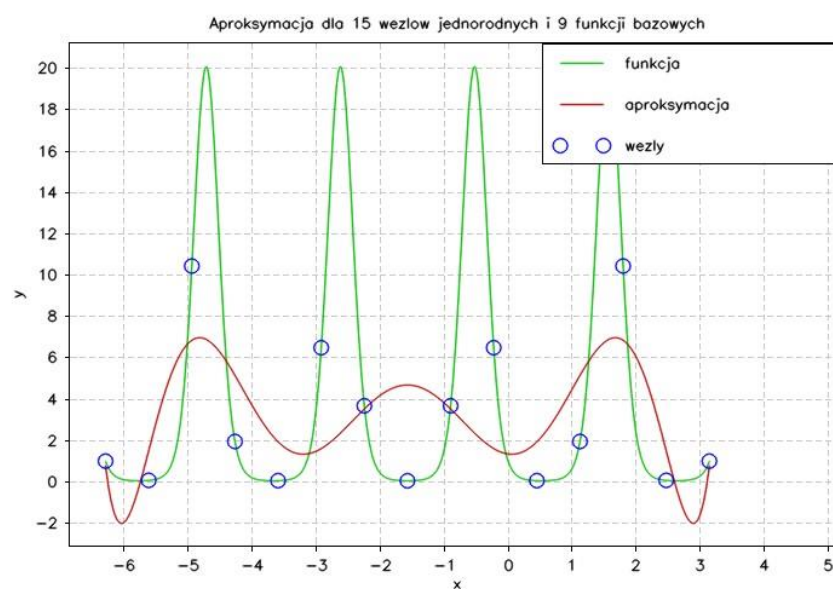


Błąd maksymalny	17.13859294
Suma kwadratów błędów	37523.91682

Tabela 23. Wartości błędów dla $m = 6$ i $n = 15$.

Dla $n = 15$ i $m = 6$ aproksymacja jest lekko wygięta, lecz nie przypomina funkcji pierwotnej.

6.2.2.2 $m = 9$

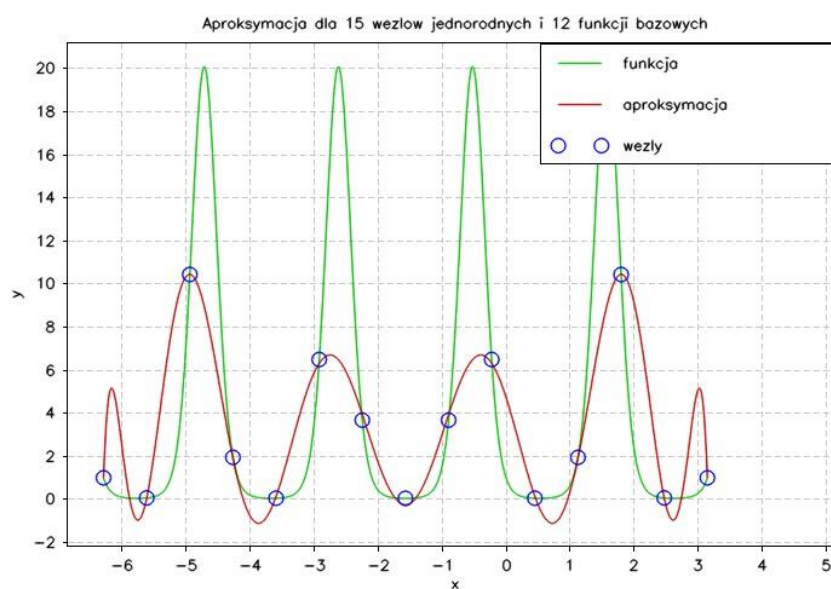


Błąd maksymalny	17.7378379
Suma kwadratów błędów	34290.93279

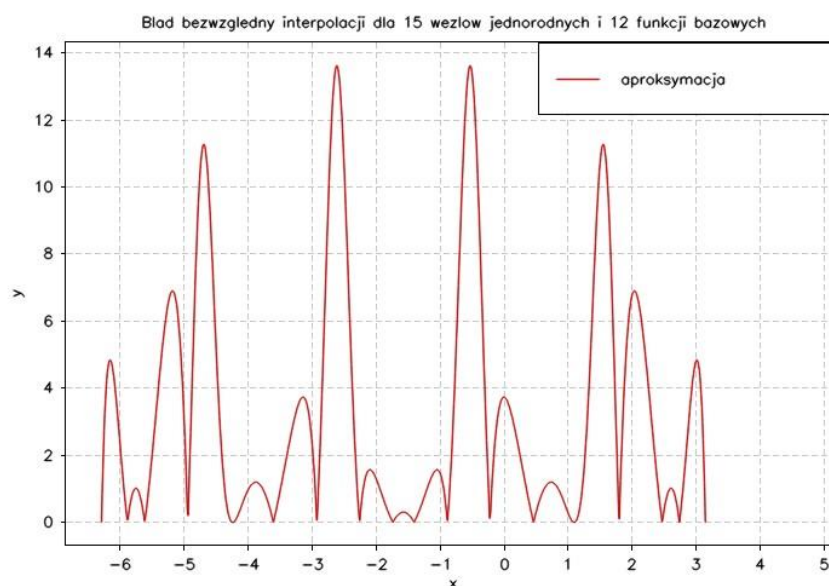
Tabela 24. Wartości błędów dla $m = 9$ i $n = 15$.

Dla $m = 9$ aproksymacja lepiej przypomina funkcję pierwotną.

6.2.2.3 $m = 12$



Wykres 51.



Wykres 52.

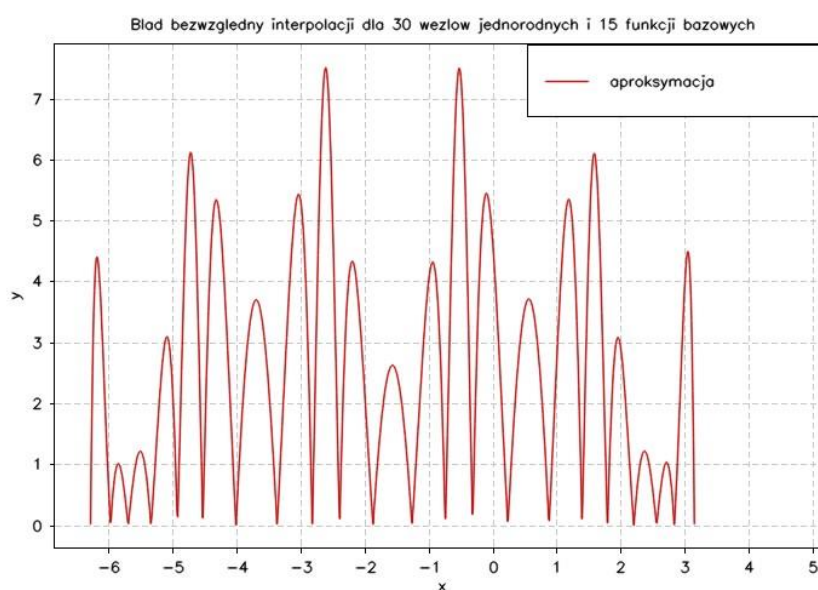
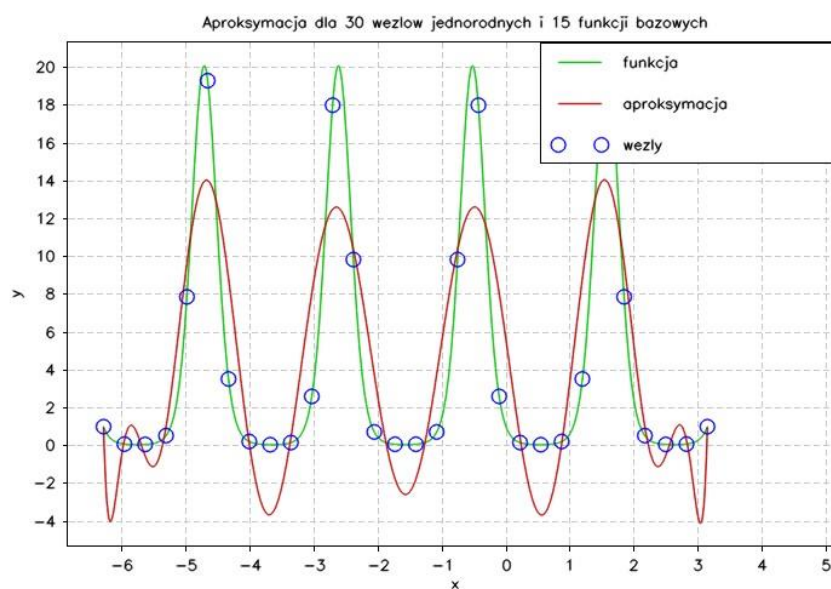
Błąd maksymalny	13.6111885
Suma kwadratów błędów	21659.50414

Tabela 25. Wartości błędów dla $m = 12$ i $n = 15$.

Dla $m = 12$ aproksymacja lepiej przypomina funkcję pierwotną. Przybliżenie jest lepsze od poprzedniego.

6.2.3 $n = 30$

6.2.3.1 $m = 15$

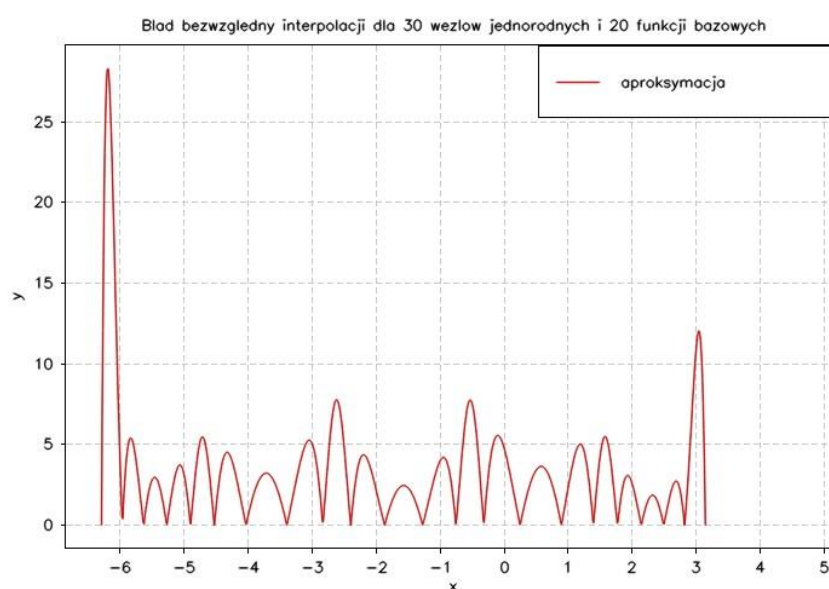
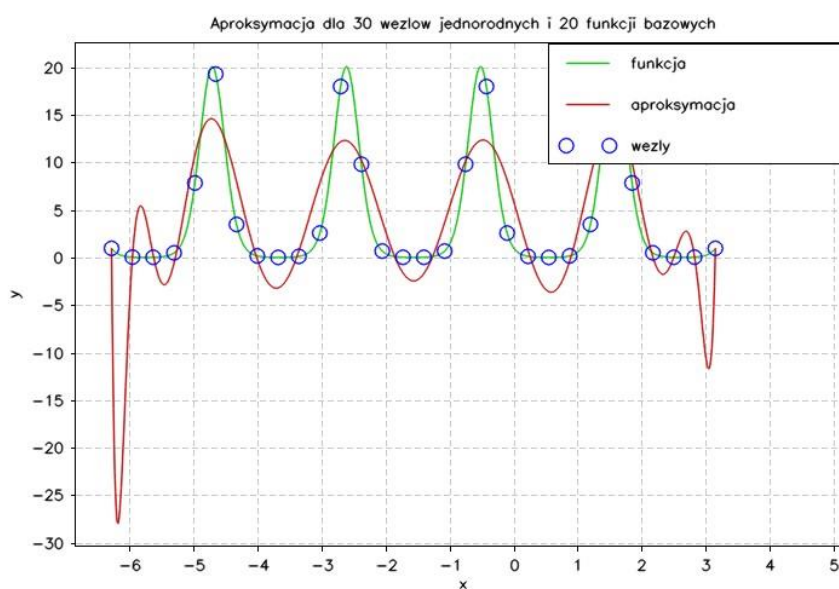


Błąd maksymalny	7.512429619
Suma kwadratów błędów	9833.367269

Tabela 26. Wartości błędów dla $m = 15$ i $n = 30$.

Dla $m = 15$ aproksymacja całkiem dobrze przybliża funkcję pierwotną.

6.2.3.2 $m = 20$

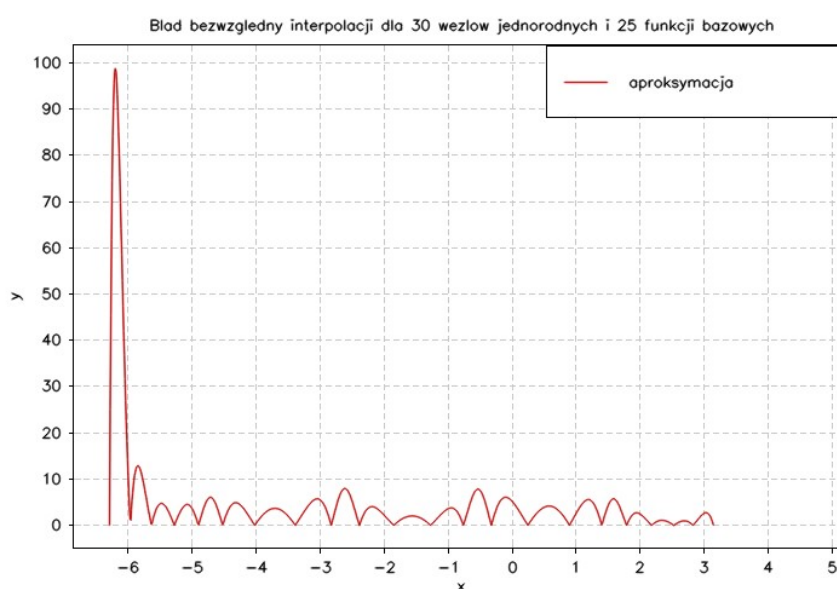
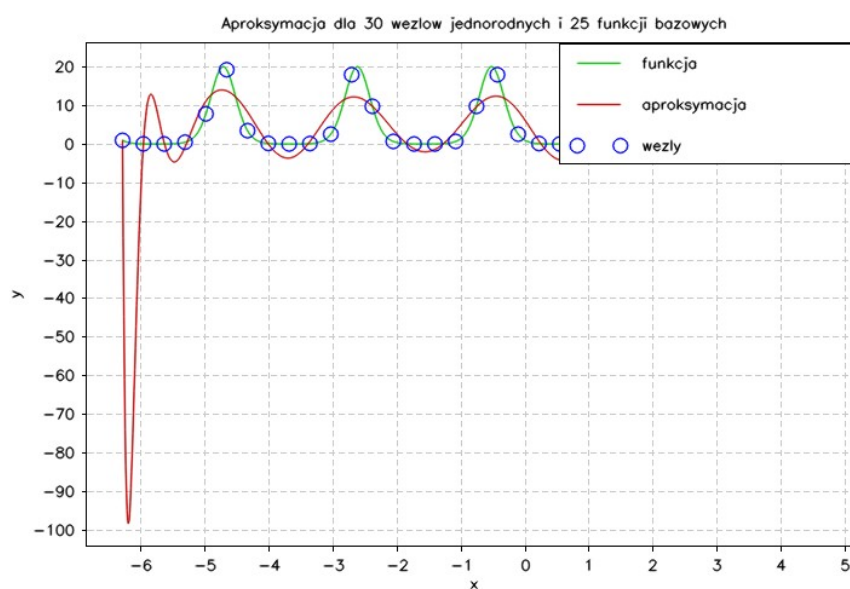


Błąd maksymalny	28.28989655
Suma kwadratów błędów	24119.42204

Tabela 27. Wartości błędów dla $m = 20$ i $n = 30$.

Dla $m = 20$ widać efekt Runge'go na obu krańcach przedziału, przy czym na początku przedziału jest większy.

6.2.3.3 $m = 25$



Błąd maksymalny	98.71957675
Suma kwadratów błędów	146971.0967

Tabela 28. Wartości błędów dla $m = 25$ i $n = 30$.

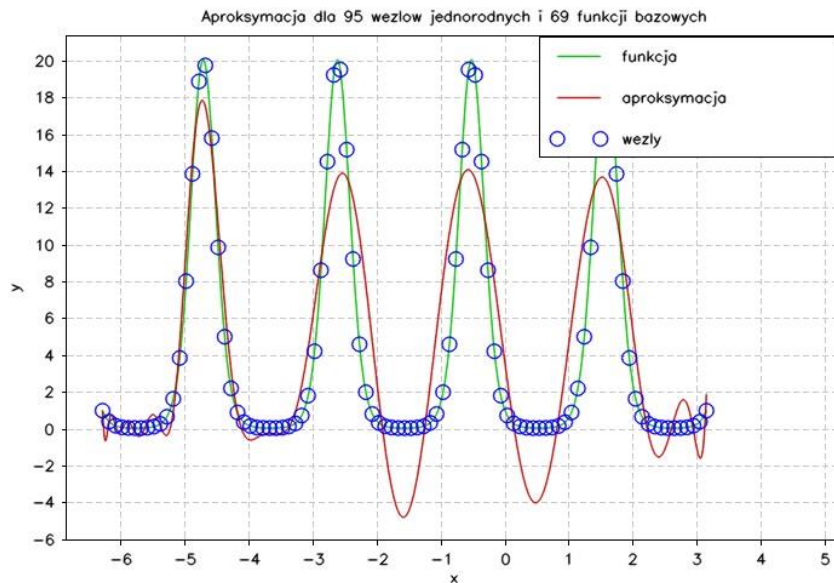
Dla $m = 25$ widać spory efekt Runge'go na początku przedziału aproksymacji.

6.3 Najlepiej przybliżający wielomian

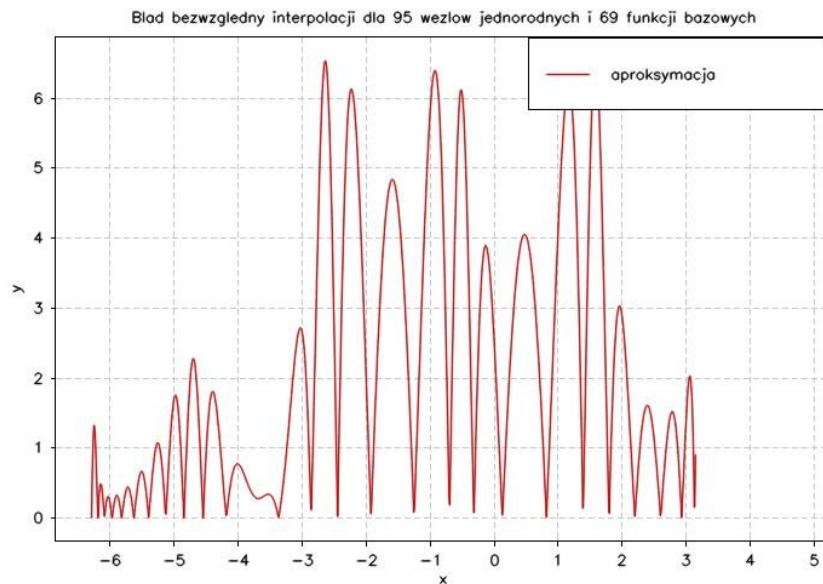
Aby znaleźć najlepiej przybliżający wielomian należy znaleźć wielomian, który ma najmniejszy błąd maksymalny oraz który ma najmniejszą sumę kwadratów błędów.

W tym celu obliczono te wartości dla $m = 2, \dots, 99$ i $n = 3, \dots, 200$.

Najmniejszy błąd maksymalny osiągnęła aproksymacja dla $m = 69$ i $n = 95$ (6.535190296).

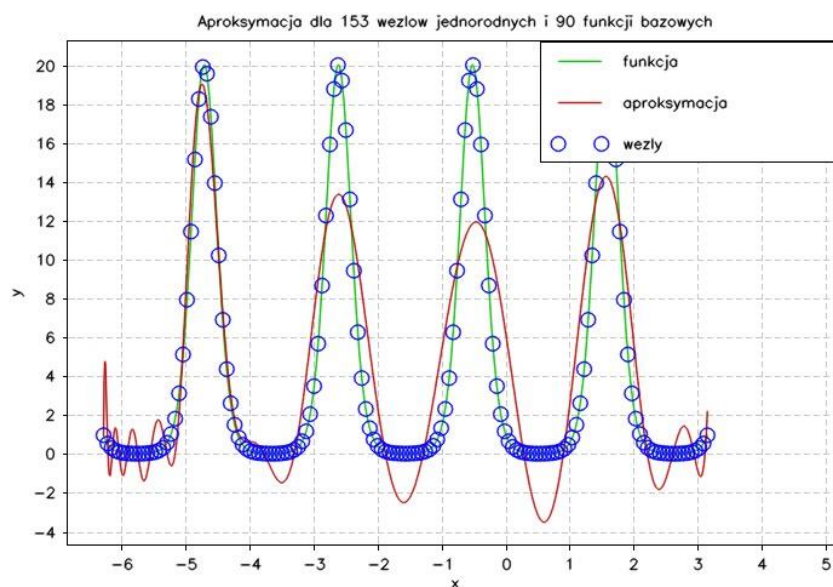


Wykres 59.

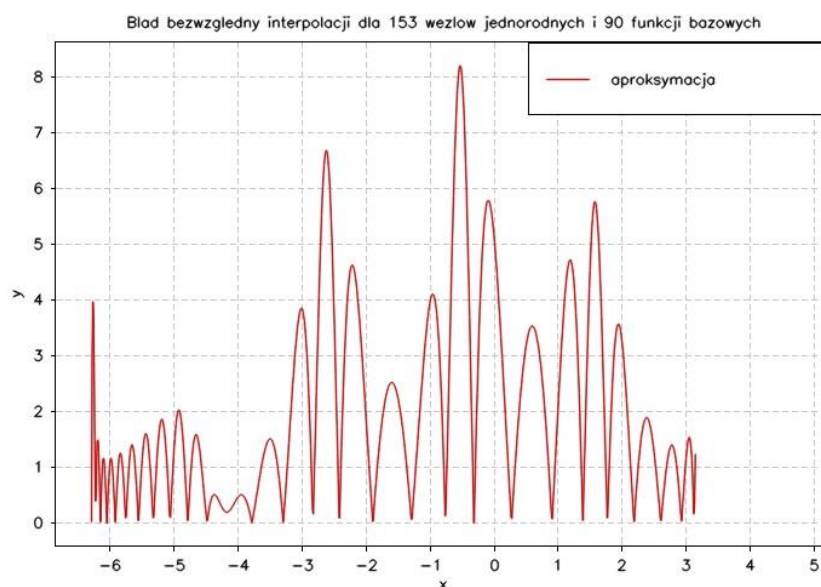


Wykres 60.

Natomiast najmniejszą sumę kwadratów błędów osiągnęła aproksymacja dla $m = 90$ i $n = 153$ (6994.894863).



Wykres 61.



Wykres 62.

6.4 Limit obliczeń

Ekperyment wykazał, że dla $m \geq 194$ aproksymacja nie jest możliwa. Próba uzyskania wielomianu kończy się uzyskaniem wartości NaN.

7. Wnioski

Zwiększanie liczby węzłów prawie zawsze zwiększa dokładność aproksymacji.

W miarę zwiększania liczby funkcji bazowych, coraz łatwiej jest uzyskać gorszą aproksymację, niezależnie od liczby węzłów.

Nie opłaca się zwiększać stopnia wielomianu w nieskończoność, przy $m \geq 194$ jakiegokolwiek obliczenia dają wynik Not-a-Number.